



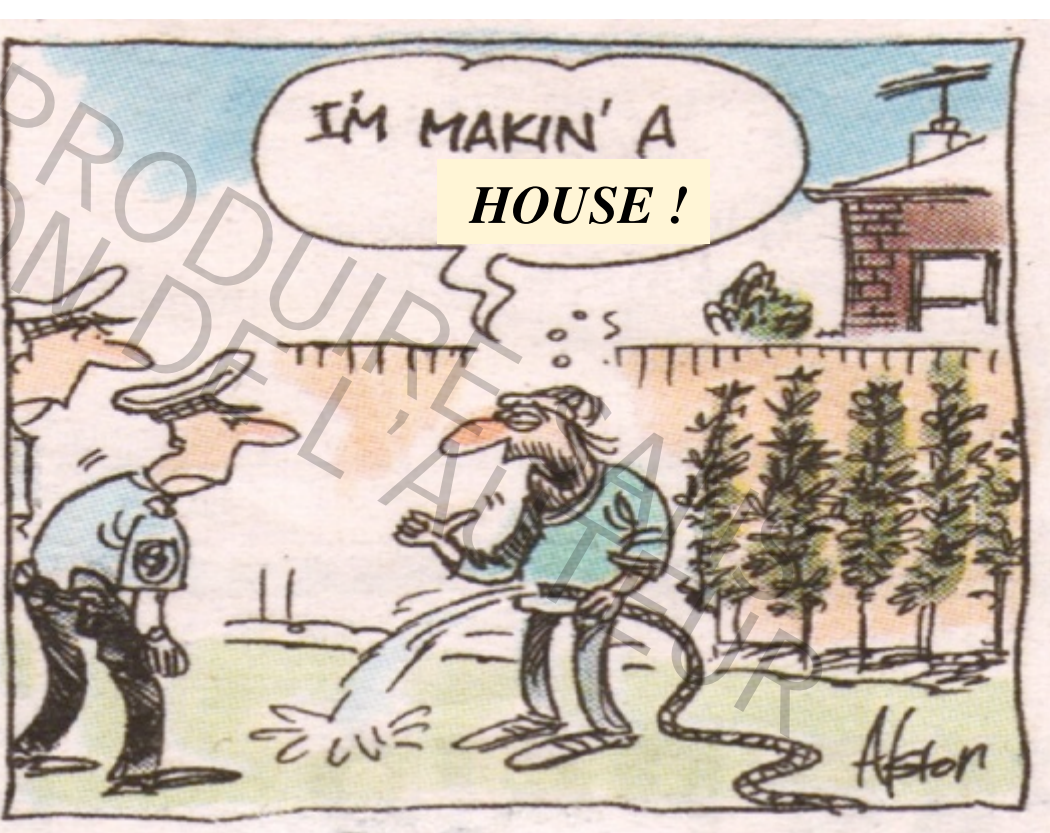




## Doit-on aujourd'hui construire sa maison avec des particules végétales ?







#### **Sommaire**







- 1. Utilisation du chanvre dans la construction
- 2. Approche globale du comportement
- 3. Performances thermiques et transferts hygrothermiques
- 4. Conclusions

#### **Sommaire**







- 1. Utilisation du chanvre dans la construction
- 2. Approche globale du comportement
- 3. Performances thermiques et transferts hygrothermiques
- 4. Conclusions

#### Le chanvre aujourd'hui ...



#### 1970 : la renaissance



A cause des fibres synthétiques, de plus en plus utilisées dans la confection, les usines Bolloré de TROYES ont des difficultés à s'approvisionner pour leur production de pâte à papier

- contrats avec des agriculteurs et début de la production de chanvre dans l'Aube
- ▶ 1973 création de la Chanvrière de l'Aube à Bar-sur-Aube



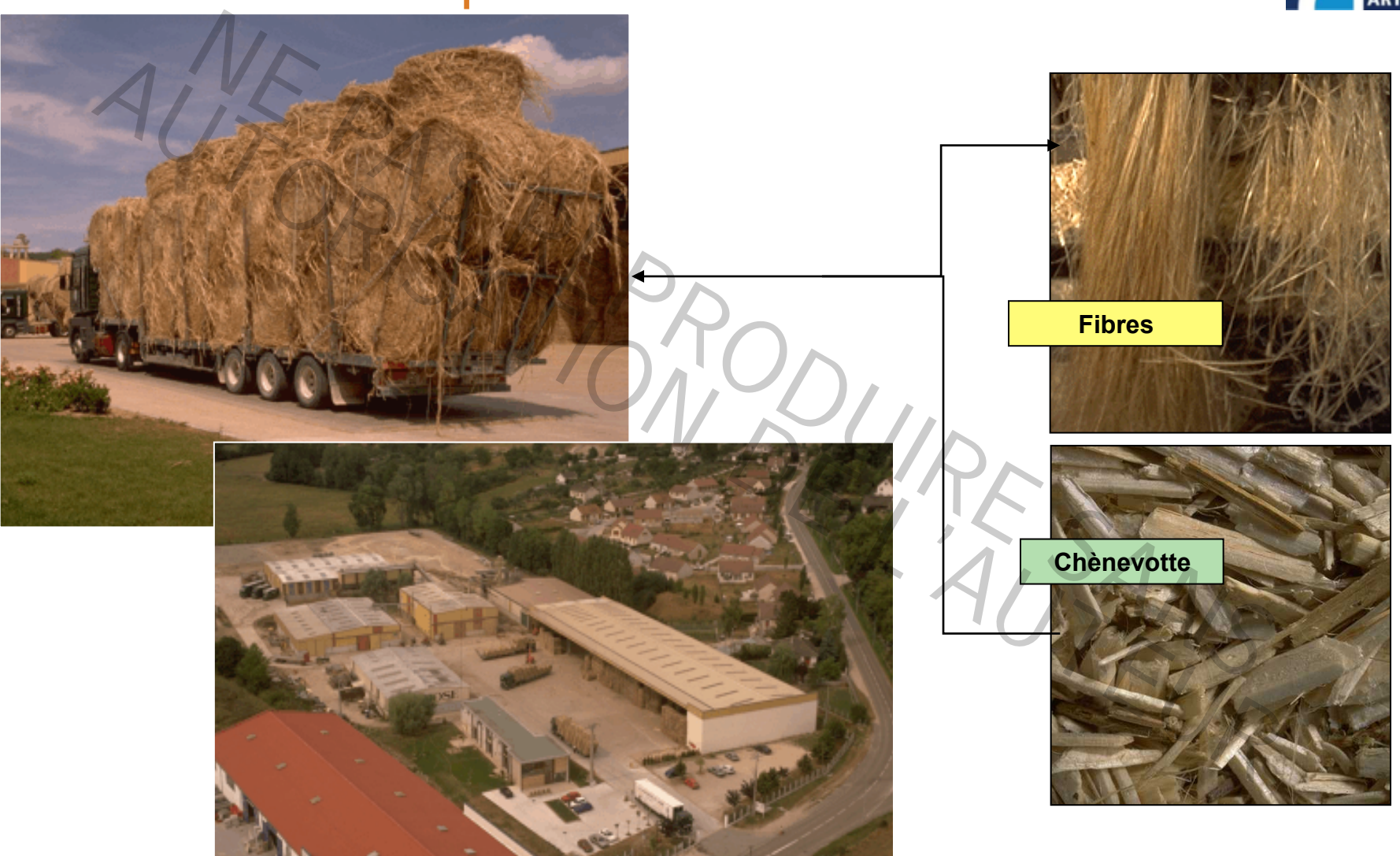
Avec 8 à 12 000 hectares, la France est la 1ère région de production de chanvre en Europe.

#### Le chanvre aujourd'hui ...



#### Une industrie de première transformation





#### Le chanvre aujourd'hui ...



#### Nouveaux débouchés des fibres végétales



- Les principales applications « passées »:
  - Le chènevis (graines) : alimentation animale
  - Les fibres : la pâte à papier
  - La chènevotte : litières animales



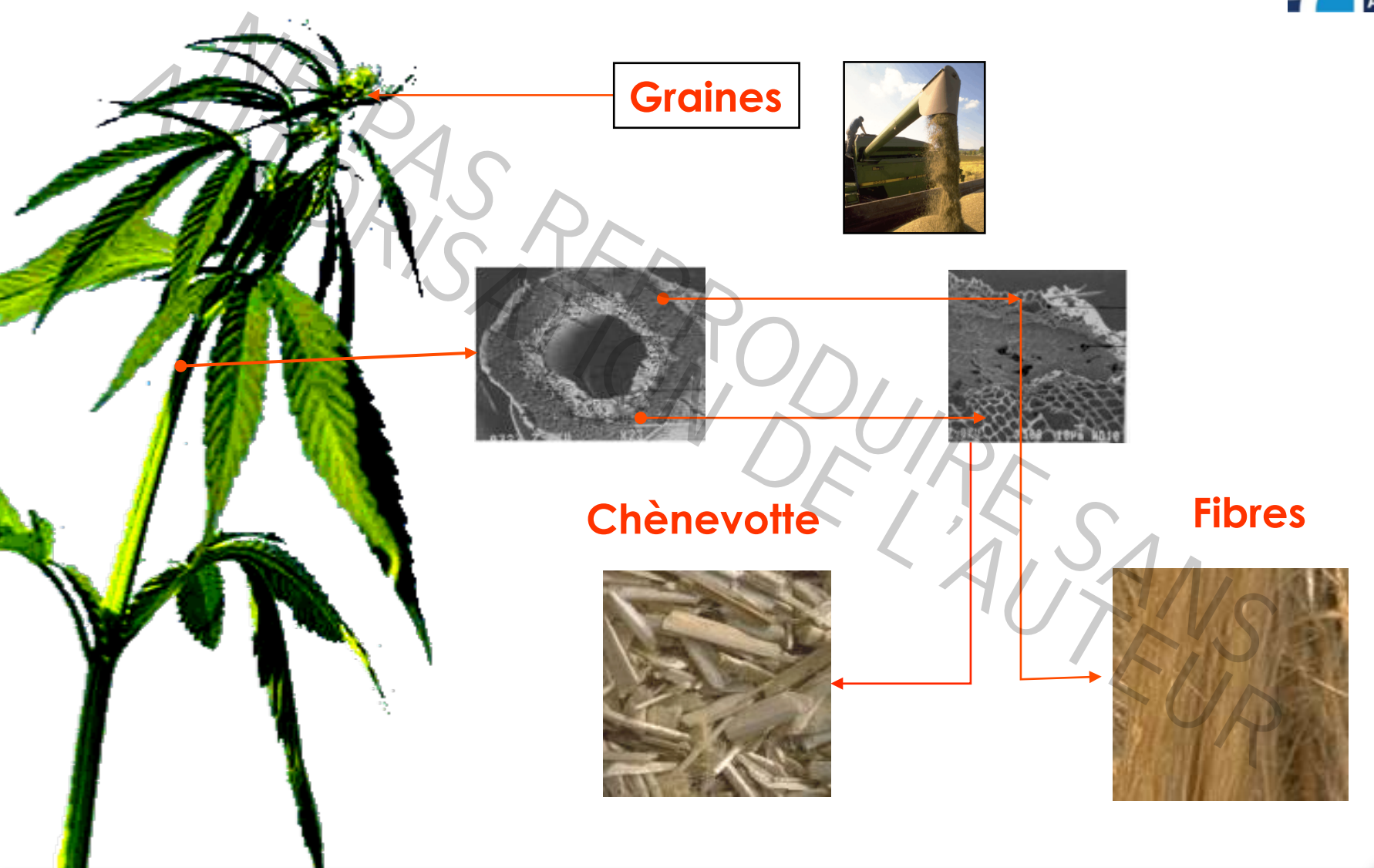
- Les axes de développement ;
  - Le chènevis (graines) : cosmétiques et diététique
  - Les fibres : matériaux composites et isolation
  - La chènevotte : matériaux de construction



#### Le chanvre dans la construction







#### Le chanvre dans la construction

#### Fibres en laine végétales : fabrication

- Mélange de fibres de chanvre et fibres polyester bi-composant
- Fabrication d'un matelas par cardage mécanique ou pneumatique
- Passage au four entre 2 tapis roulants
- Découpe et conditionnement
- · Densité : 25 à 40 kg/m³
- Cond. Thermique:  $\lambda = 0.040 \text{ W/m.}^{\circ}\text{C}$
- Bonnes propriétés mécaniques

Les laines de chanvre rentrent dans le cadre des Avis Techniques et des Agréments Techniques Européens



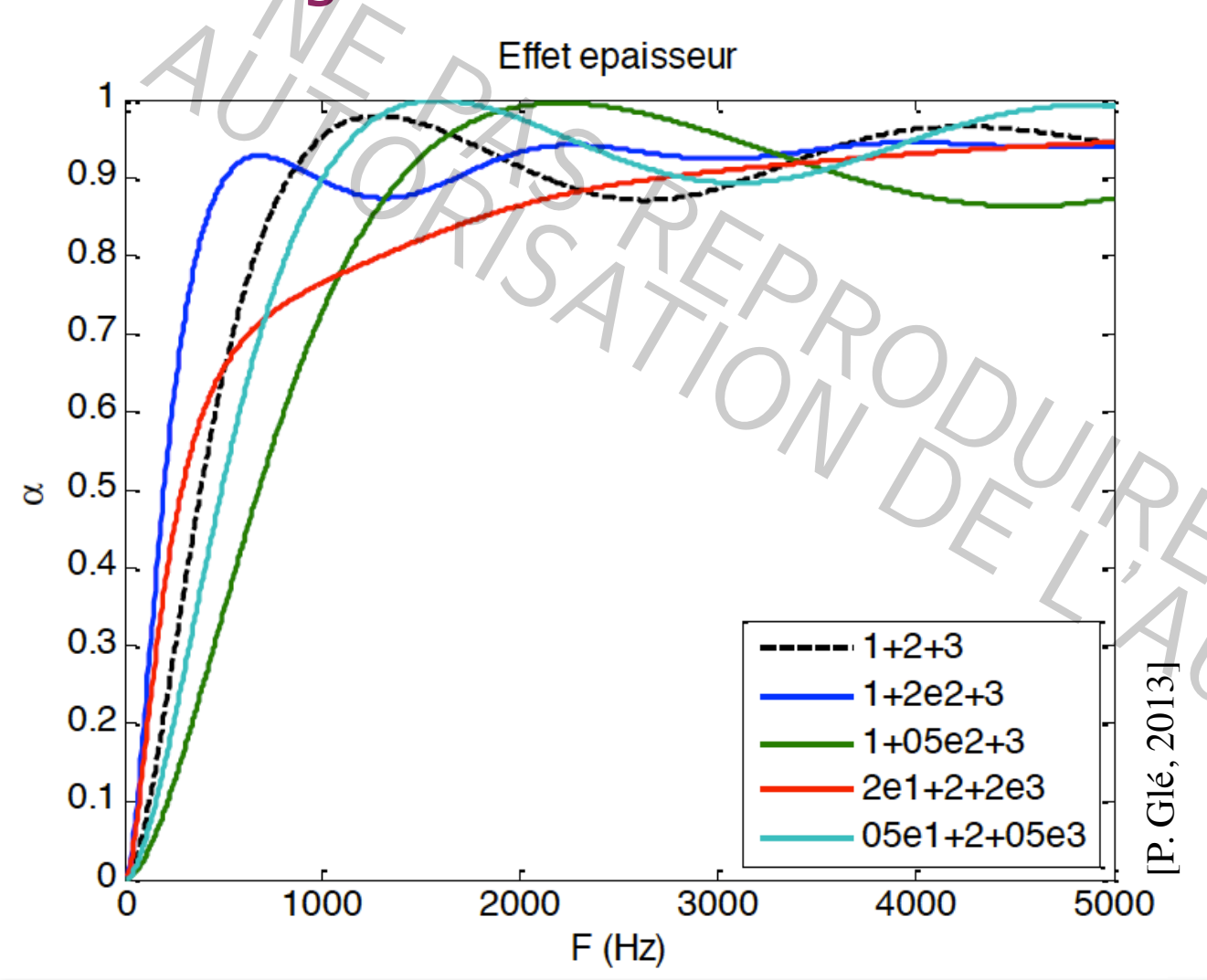


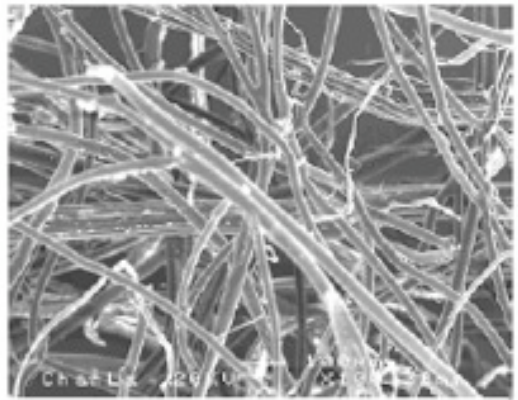


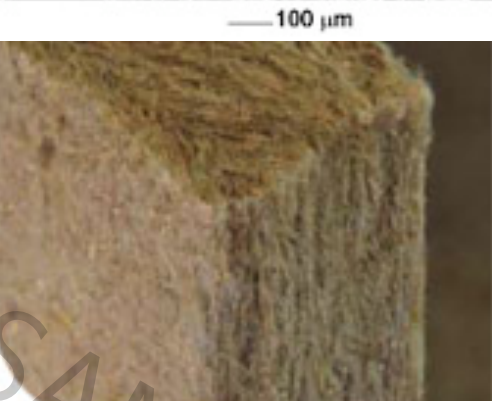
#### Le chanvre dans la construction



#### Laine végétale d'isolation









#### Mortiers et Bétons





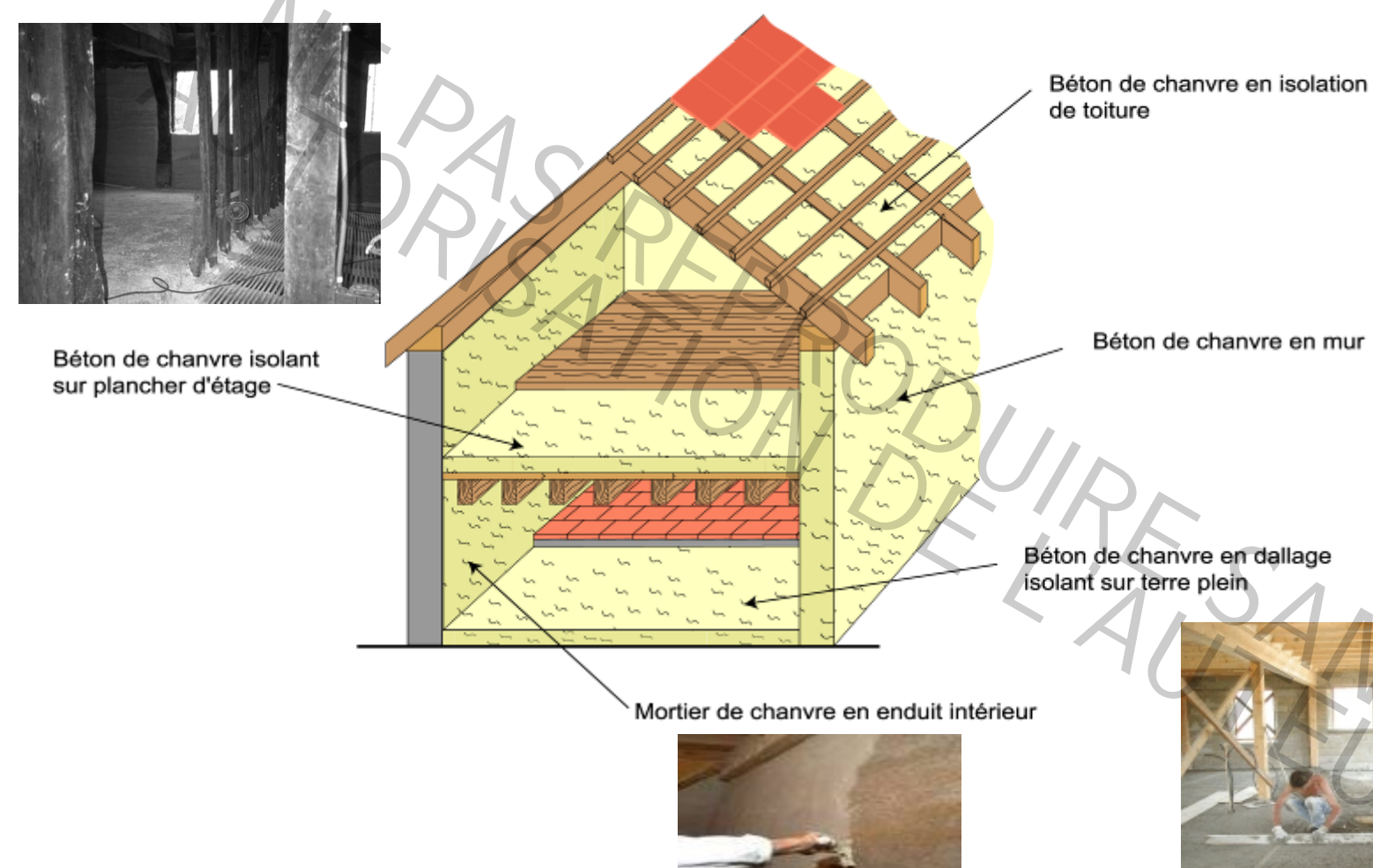






#### **Mortiers et Bétons**

















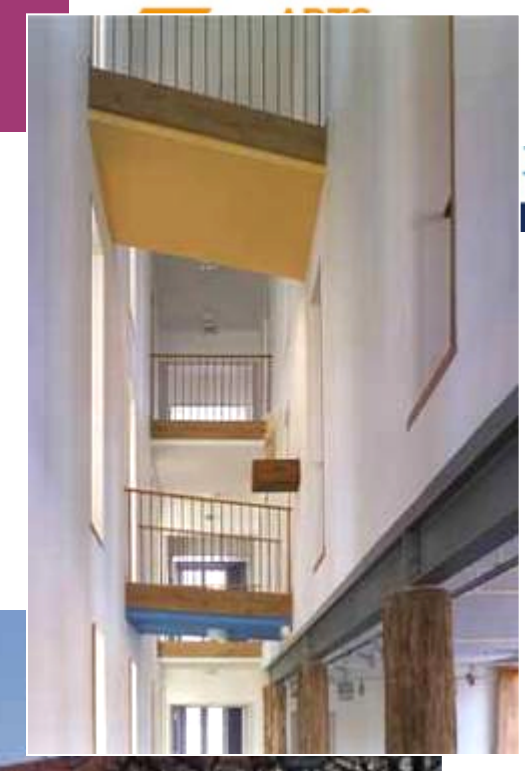




#### Réhabilitation

Maison Diocésaine de Chalons en Champagne Maîtrise d'Œuvre : Atelier Méandre





#### Maison Individuelle : banchage - blocs











Préfabrication : Maison de L'Habitat / Avis Technique Expérimental
Maîtrise d'Ouvrage : Conseil Général du Puy de Dôme / Maîtrise d'Œuvre : A Duverger et Y Perret

#### **Sommaire**







- 1. Utilisation du chanvre dans la construction
- 2. Approche globale du comportement
- 3. Performances thermiques et transferts hygrothermiques
- 4. Conclusions





Fonctions d'un matériau de construction en service

Assurer la stabilité mécanique de la construction

Assurer l'isolation phonique

Assurer l'isolation thermique

Réguler les échanges

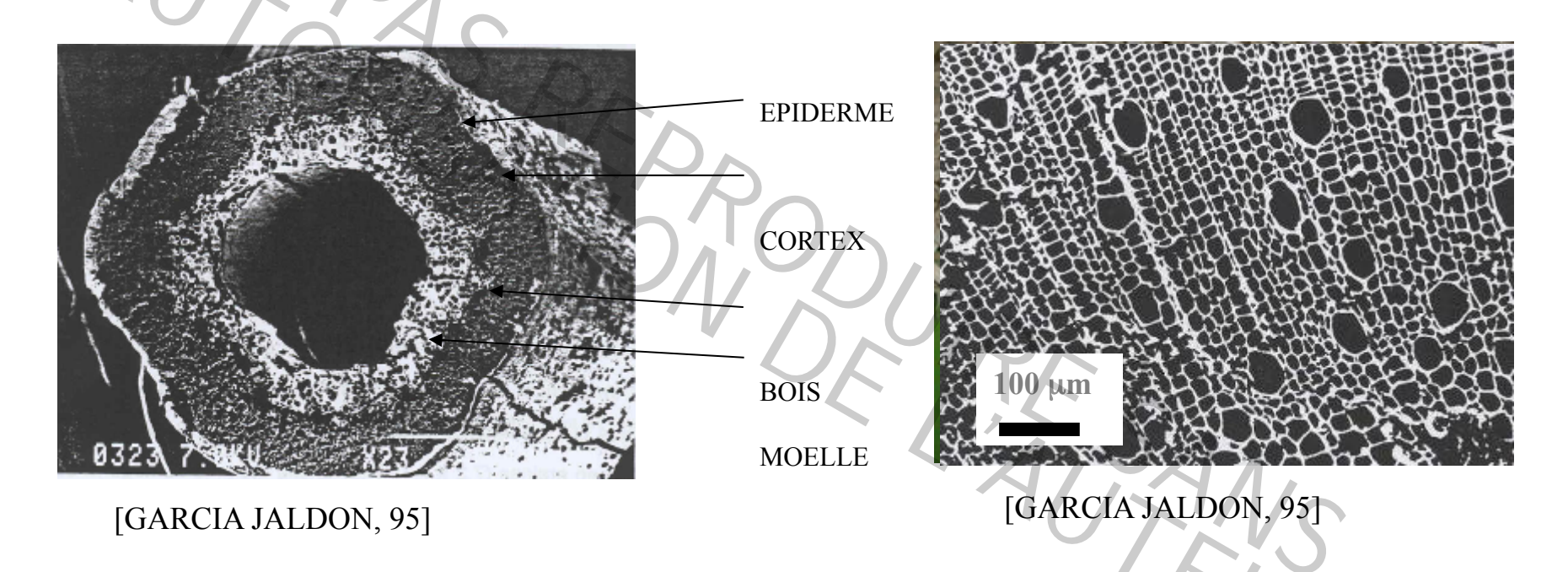






#### Caractérisation des constituants

#### Particules végétales de chanvre



- ◆ Particule de taille: 2x0,5x0,2 cm³
- Poreuses (capillaires de 10 à 60 μm)

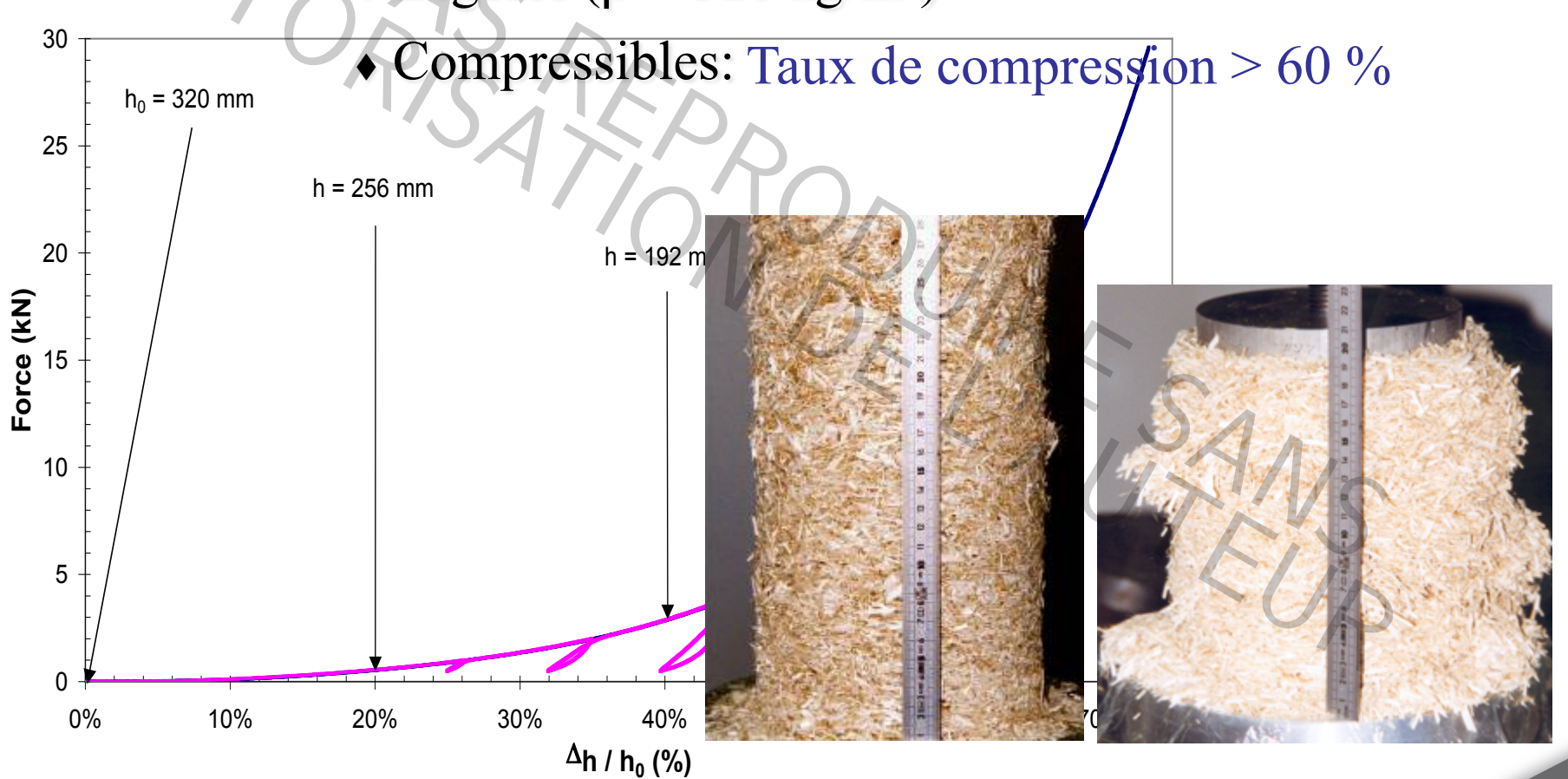






Particules végétales de chanvre

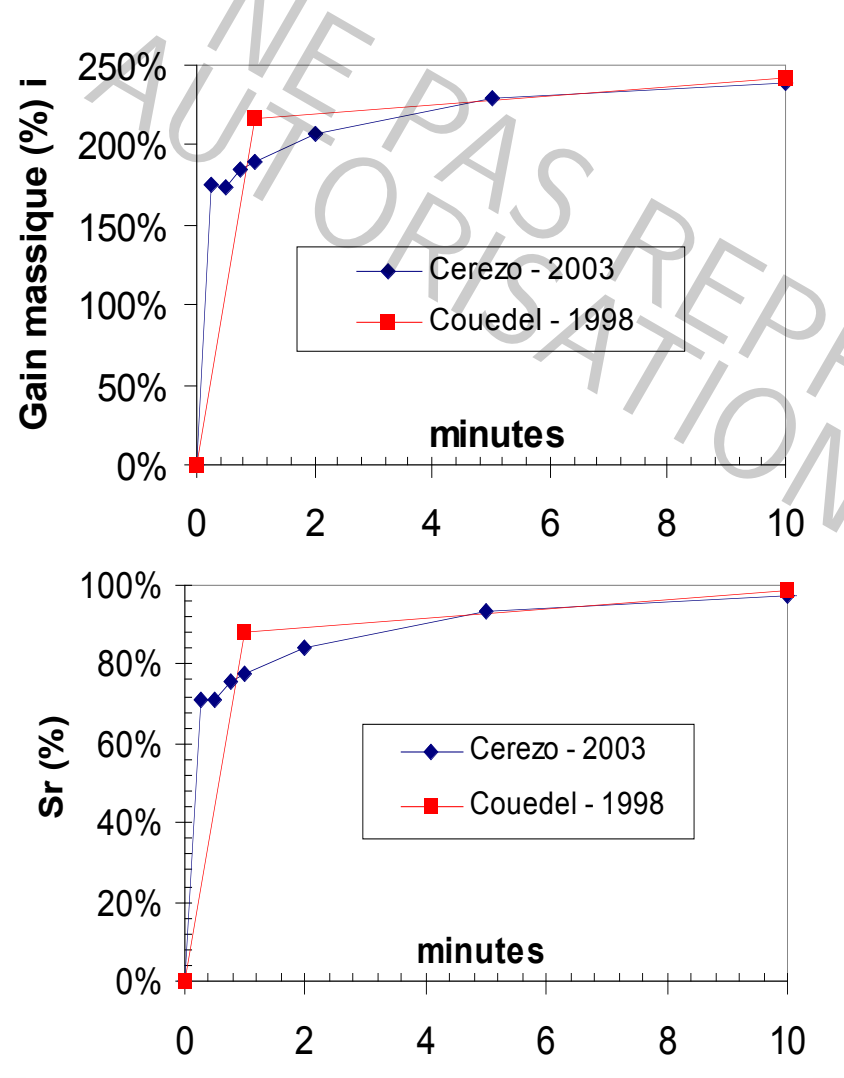
• Légères ( $\rho = 320 \text{ kg/m}^3$ )







#### Caractérisation des constituants



♦ Sensibles à l'eau

Remontées capillaires



Absorption d'eau liquide

Taux de saturation 
$$S_r = \frac{V_{eau}}{V_{vides}}$$

Saturation: totale et rapide







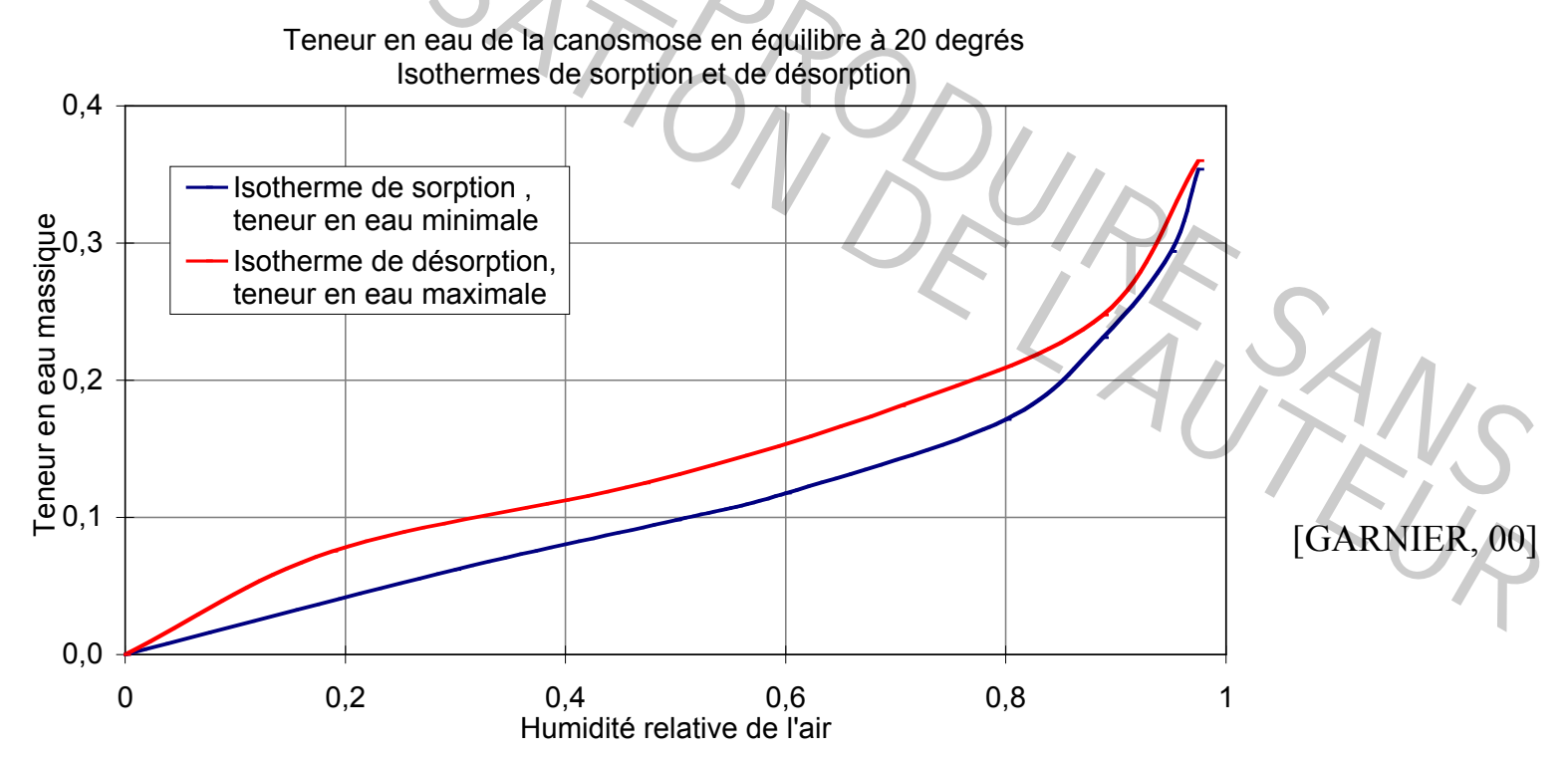
- Sorption / désorption
- T fixe et H<sub>R</sub> variable



Gain de masse

- Teneur en eau massique

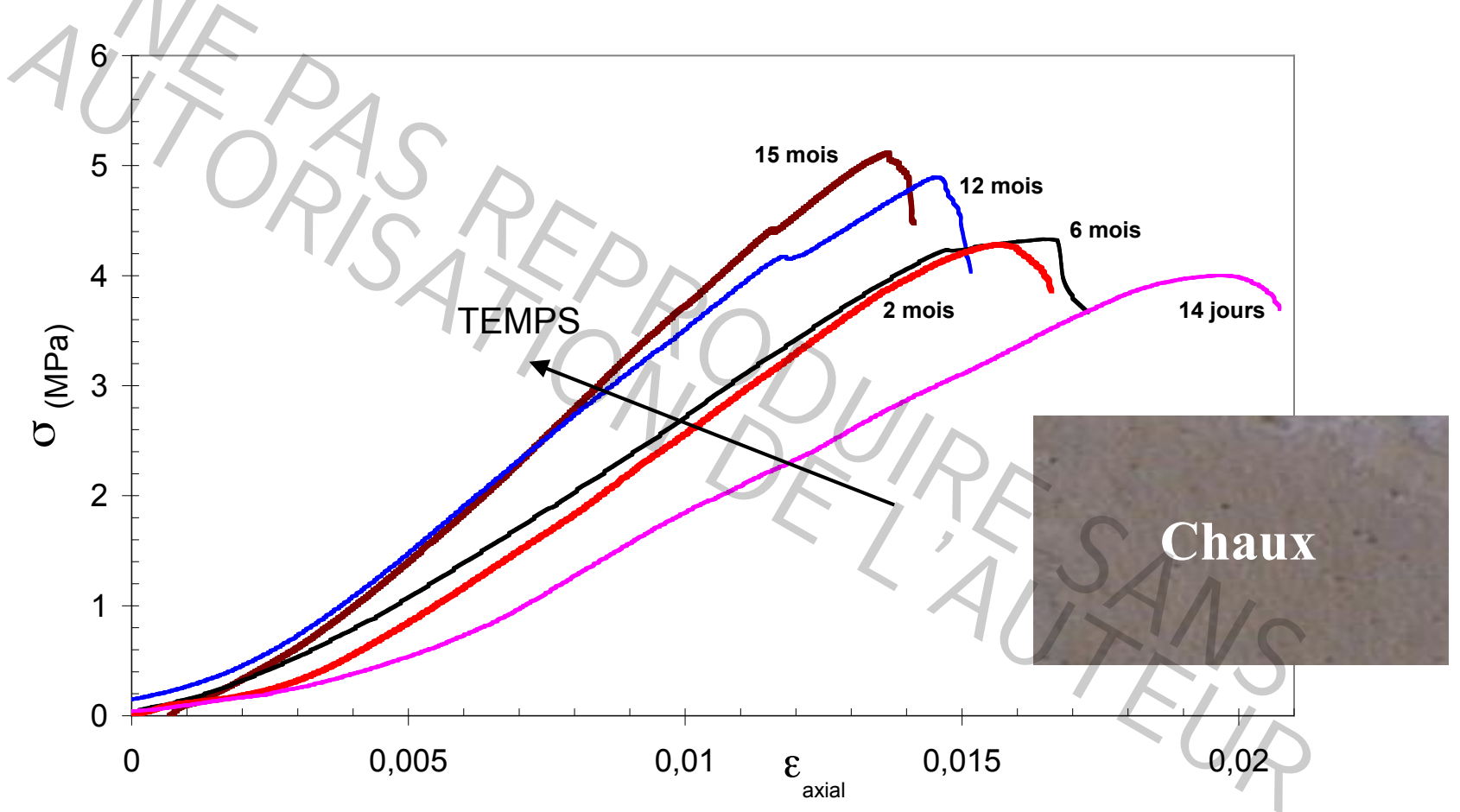
$$\omega = \frac{Meau}{Ms\grave{e}che}$$





Caractérisation des constituants : Liant





Performances mécaniques moyennes

 $\sigma_{\text{max}} \approx 5 \text{ MPa}$   $E \approx 450 \text{ MPa}$   $\varepsilon_{\sigma \text{max}} \approx 10^{-2}$ 



• Bétons et mortiers









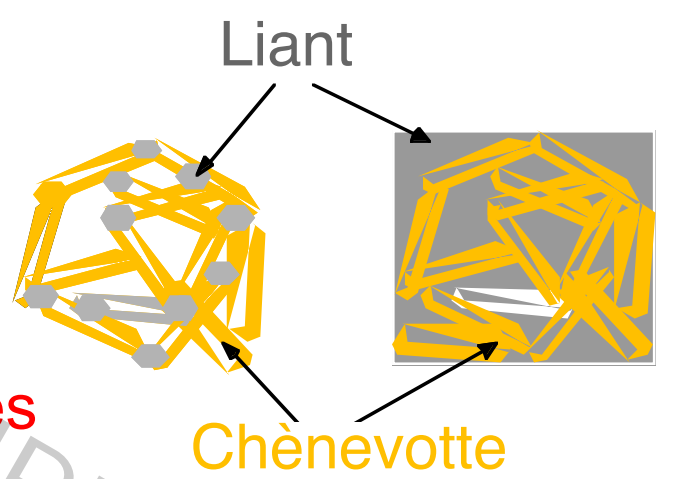


- Béton de chanvre = Chènevotte + Liant + eau
- Gamme large de dosages en liant

18 - 55 % en masse

 Formulations types identifiées et validées

- ⇒ Structures macroscopiques différentes
- ⇒ Propriétés différentes







Bétons et mortiers



- ♦ Des constituants de natures différentes
  - → Interactions physiques
    - Compétition pour l'eau
  - → Interactions chimiques
    - Végétal et prise du liant

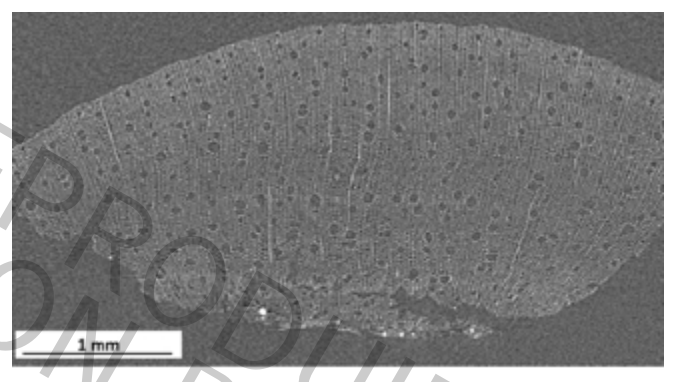
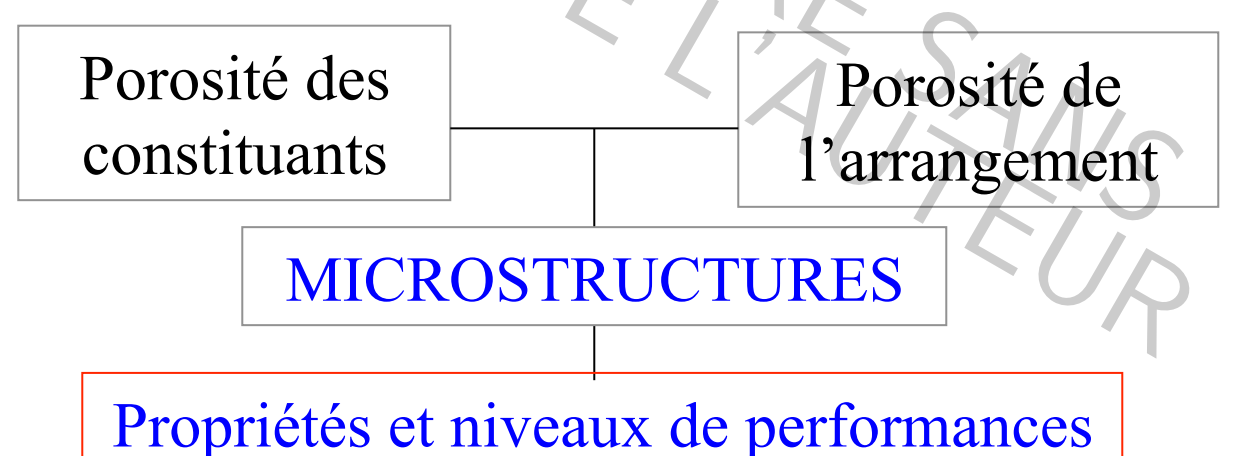


Fig. 5. Intra-particle pores of a particle of shiv SI [21] - Mateis, INSA Lyon.



Porosité

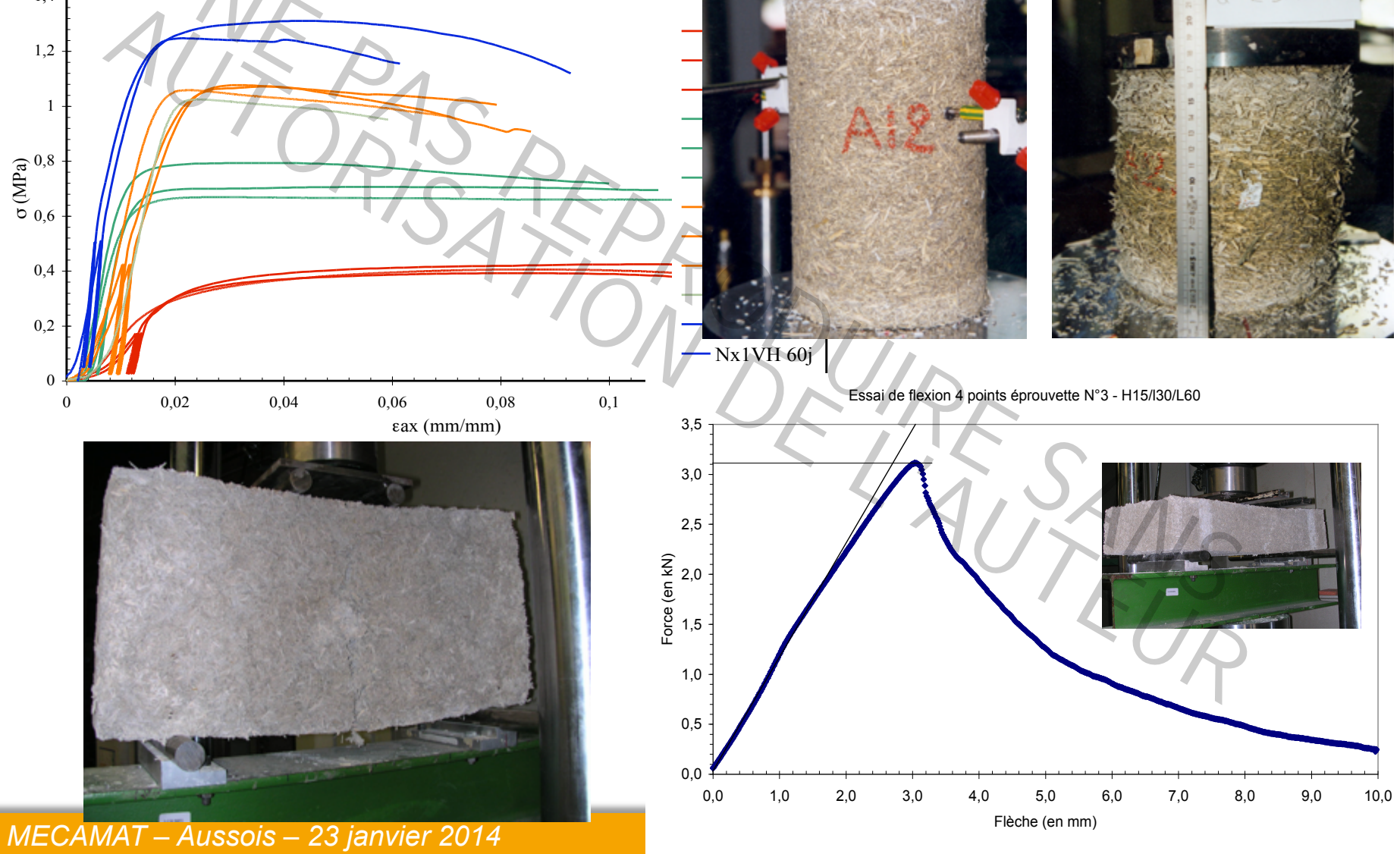


EbilSurdalle Nx1 4j





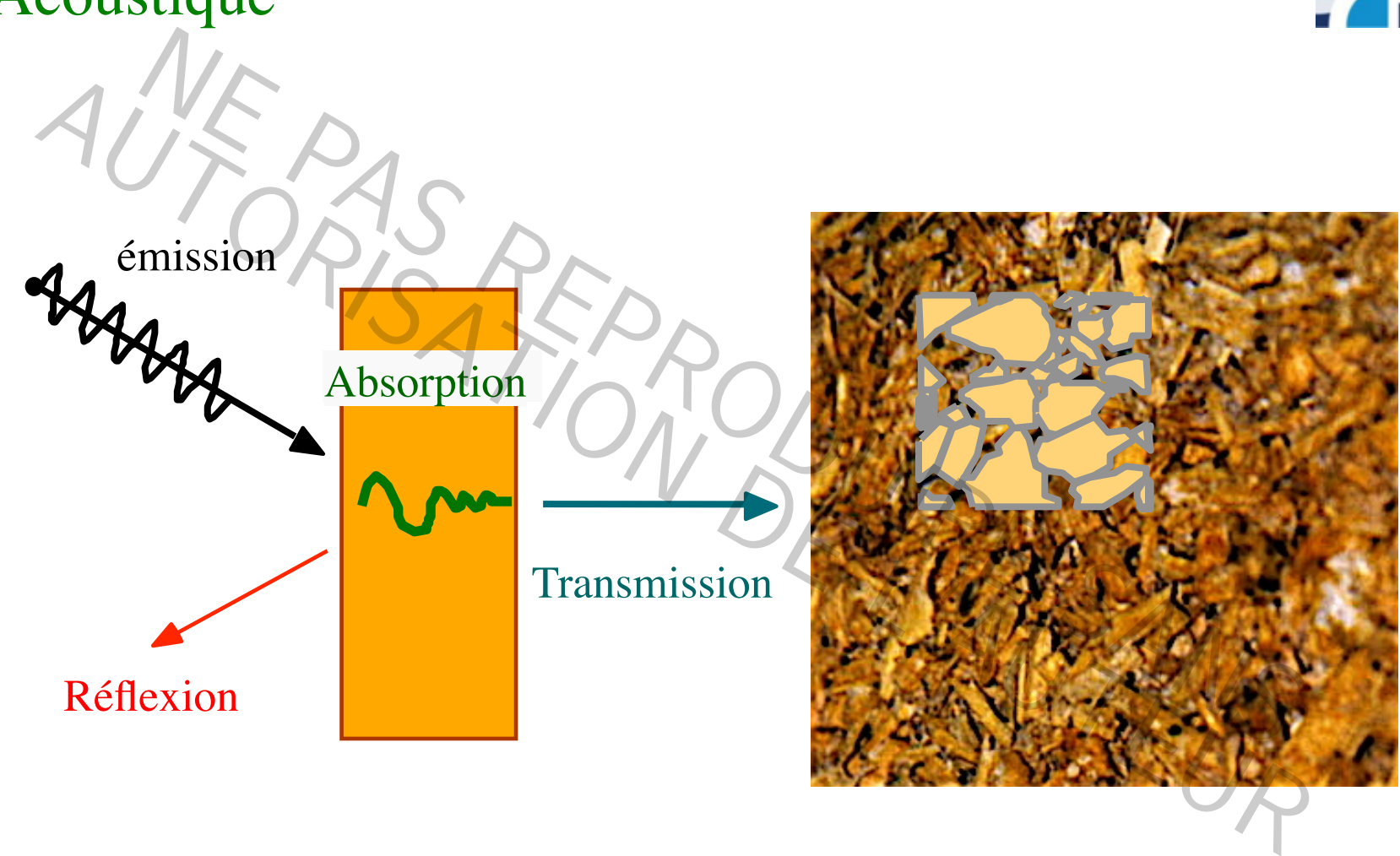












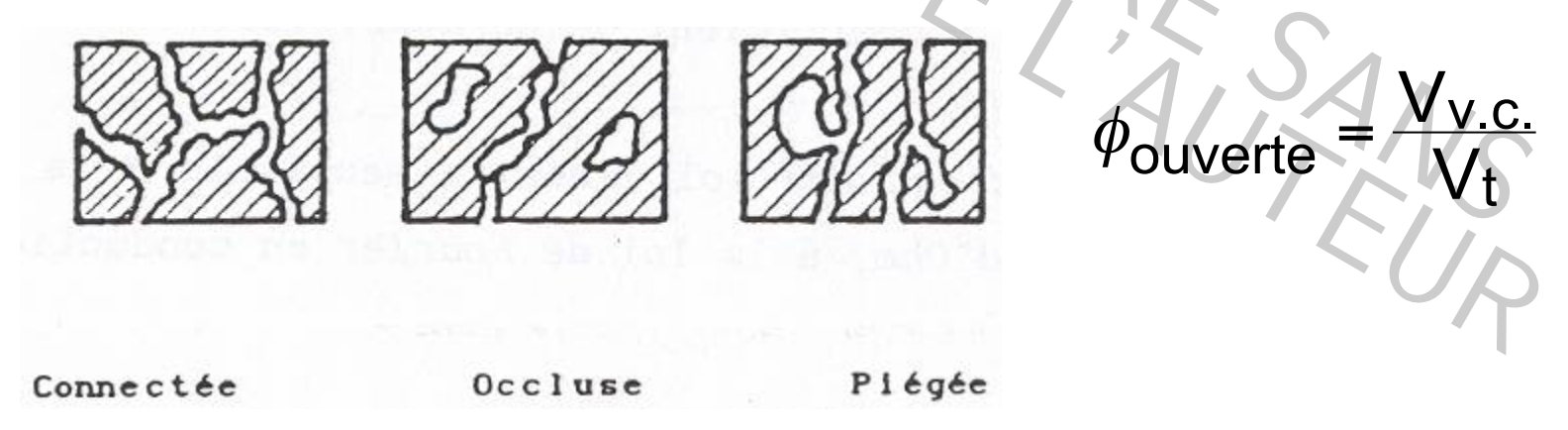


Acoustique



- Son: propagation d'ondes dans l'air
- Effet à l'interface air matériau
- Propagation dans le milieu poreux

Deux notions clés: porosité et perméabilité





• Acoustique : Moyens expérimentaux



Porosité ouverte

Ф

[Beranek, 1942]

LE CONTRACTOR OF THE PROPERTY OF THE PROPERTY

Résistivité

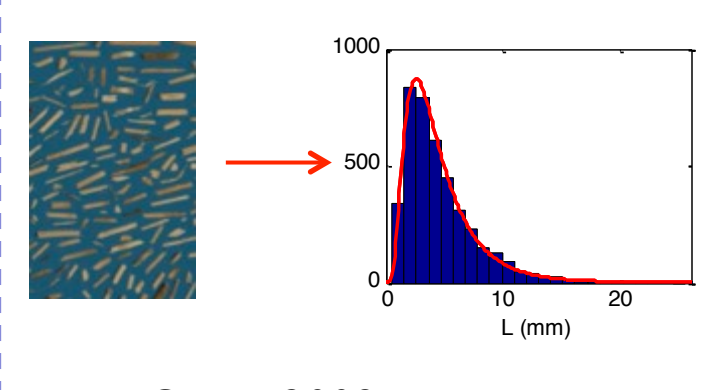
$$\sigma = \eta/\Pi$$

[ISO 9053]





Granulomètrie

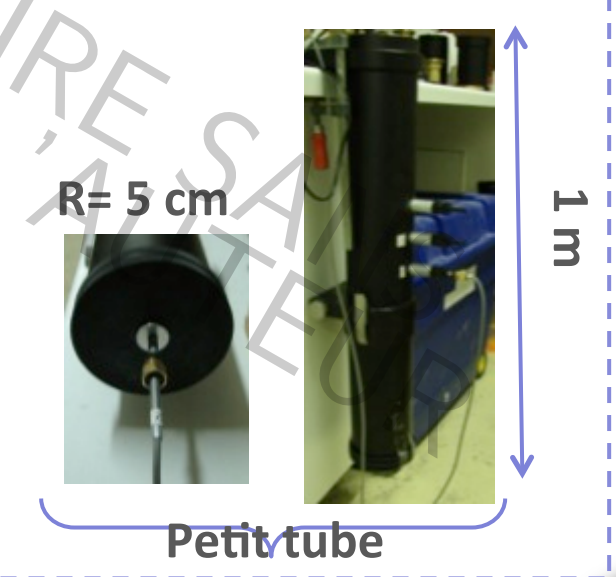


[Ceyte, 2009]

Grandeurs acoustiques

 $\alpha$ 

TL

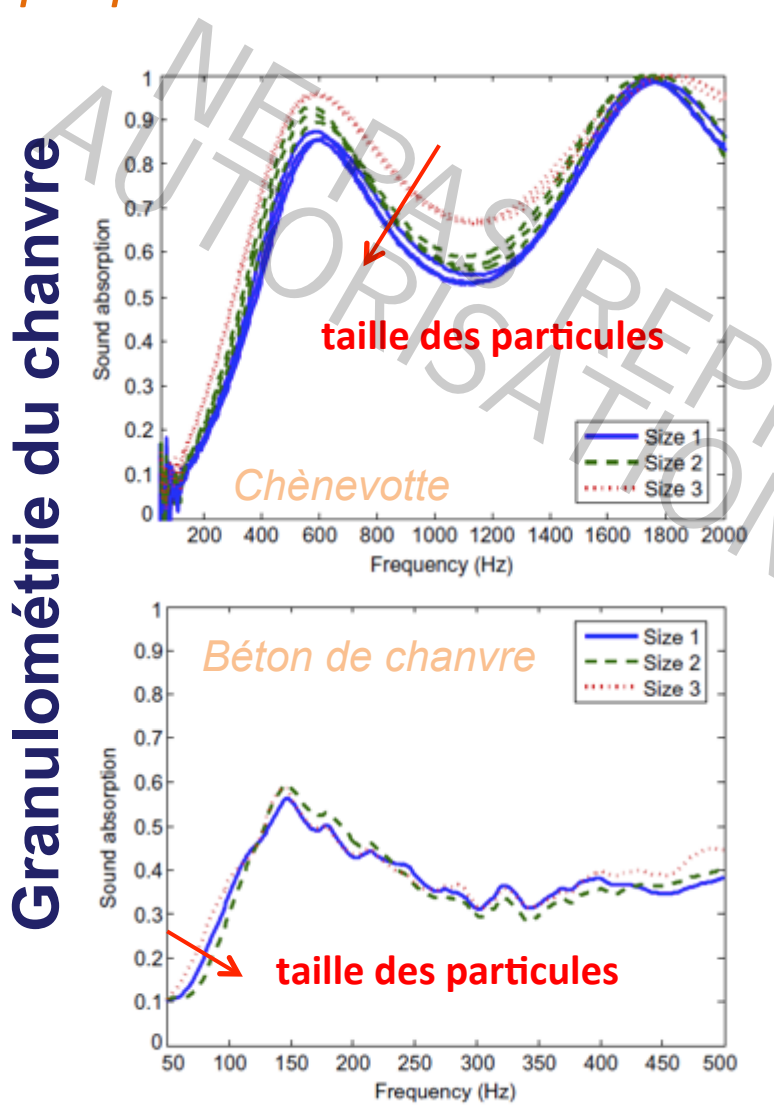


#### Sensibilité des grandeurs acoustiques



#### Aux propriétés des constituants





Binder A Liant 0.45 Binder B """ Binder C 0.4 0.35 Sound absorption 0.3 0.25 0.2 0.15 chaux aérienne 0.1 0.05 1000 1200 1400 1600 1800 2000 Frequency (Hz) Béton de chanvre Binder B Binder C 0.8 0.7 Sound absorption chaux aérienne et 0.6 hydraulique 0.5

ciment

300

350

400

450

0.4

0.3

0.2

0.1

100

150

200

250

Frequency (Hz)

# P. Glé, 2013

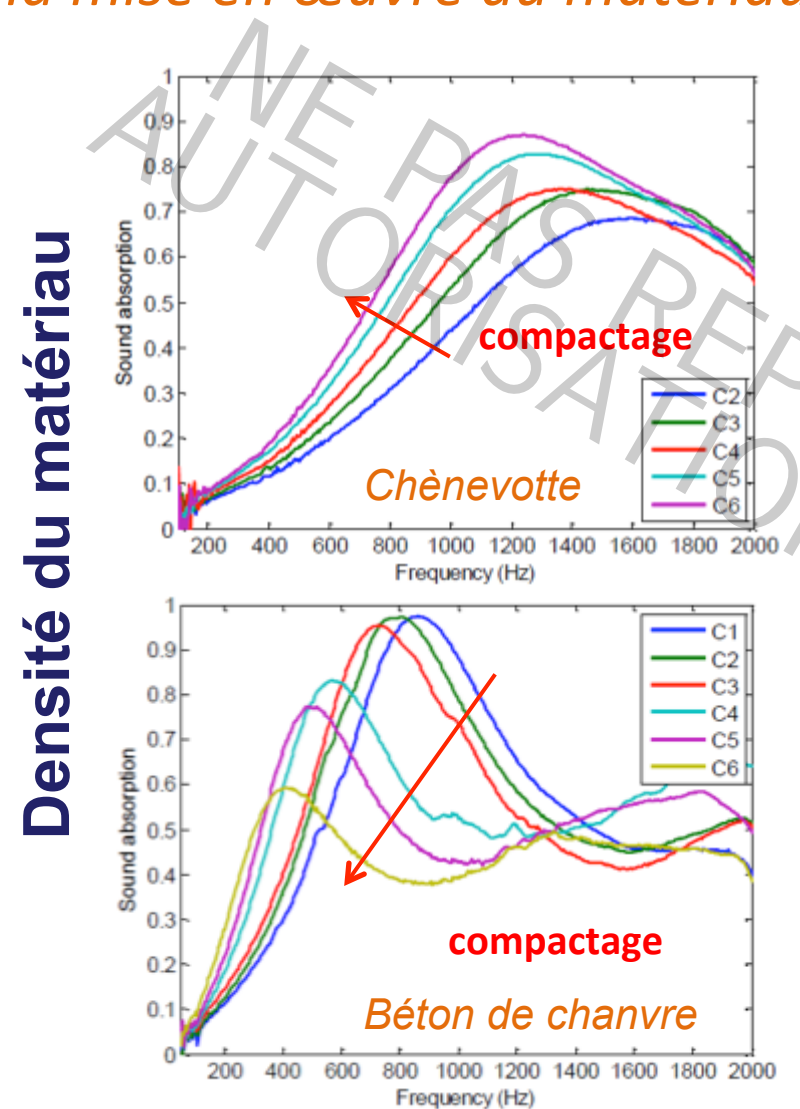
#### Sensibilité des grandeurs acoustiques



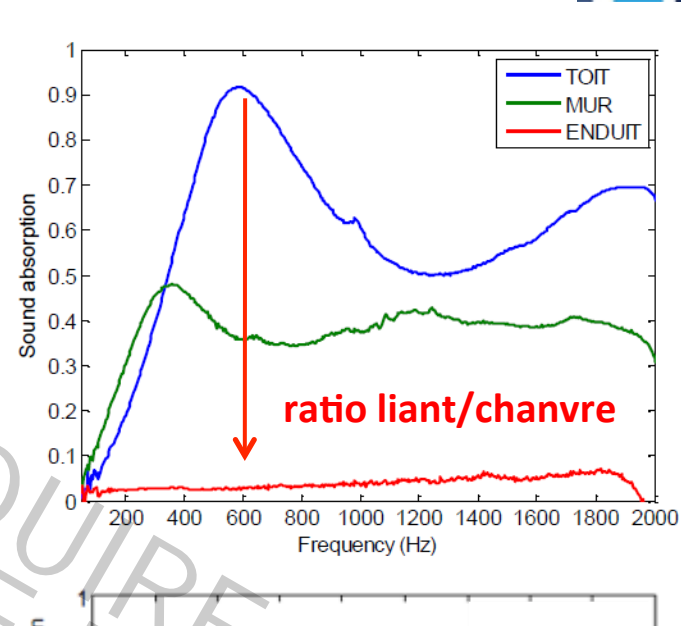


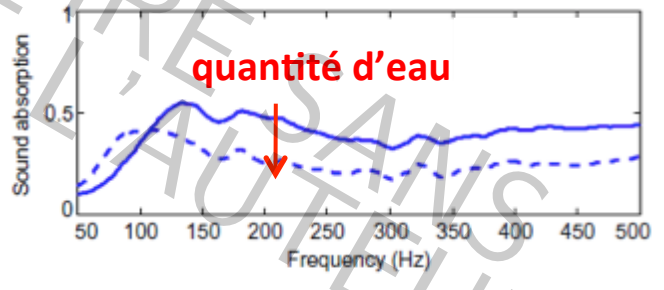




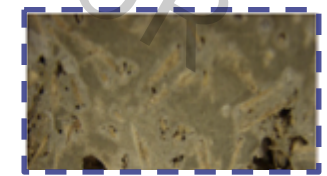


et au 4 Dosages









#### Modélisation des grandeurs acoustiques



#### Effets de dissipation dans un poreux



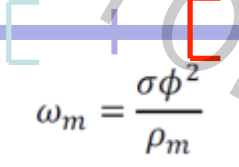
Cas du

béton de

chanvre

10 à 50 Hz

Effets mécaniques



Effets visco-inertiels

Hypothèse de squelette rigide: 1 onde P dans fluide  $= \frac{\sigma \phi^2}{\sigma \phi^2}$ 

Régime visqueux

Régime inertiel

$$h_{0} = \frac{\sigma \phi}{\rho_{0} \alpha_{\infty}}$$

500 à 10000 Hz

10 à 8000 Hz

Effets thermiques

Régime isotherme Régime adiabatique  $\omega_t = \frac{\kappa}{\rho_0 C_p \Lambda'^2}$ 

Fréquences audibles: 20 à 20000Hz

Fréquences bâtiment: 100 à 5000Hz

#### Modélisation des grandeurs acoustiques

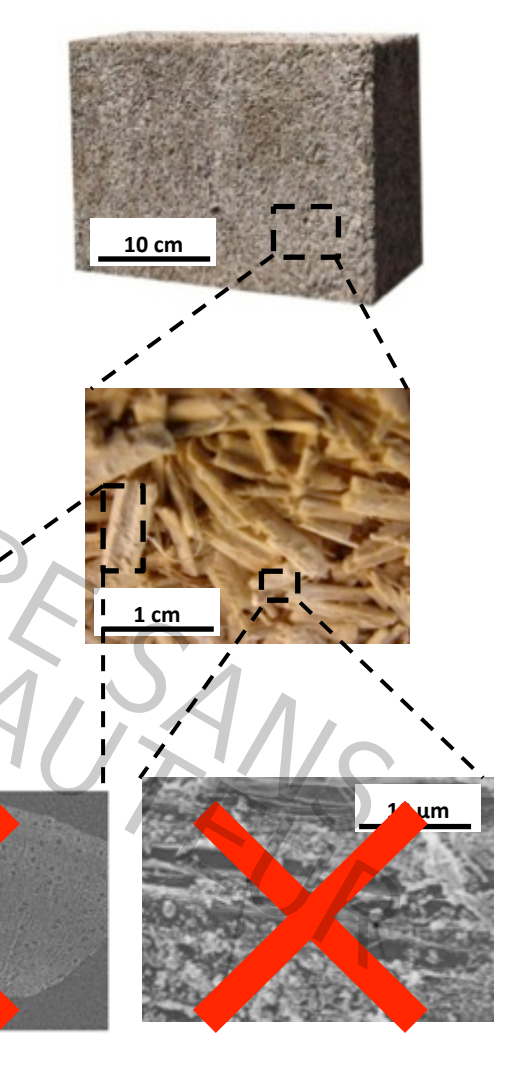




### Des paramètres acoustiques aux propriétés acoustiques

#### Matériau à 3 échelles de porosité :

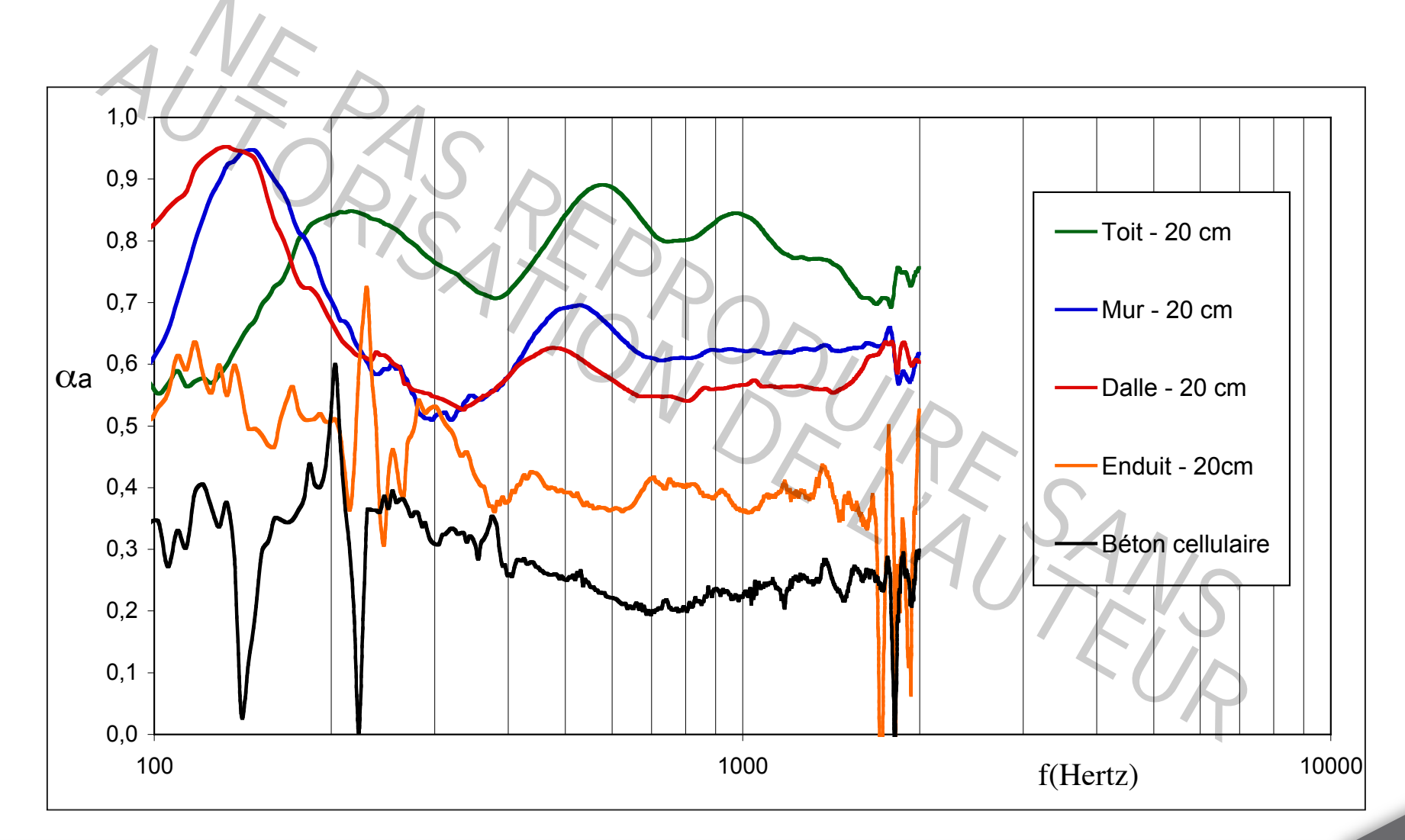
- Modélisation multi-échelle
- Deux échelles inactives d'un point de vue acoustique (masquage par contraste de perméabilité)





Acoustique

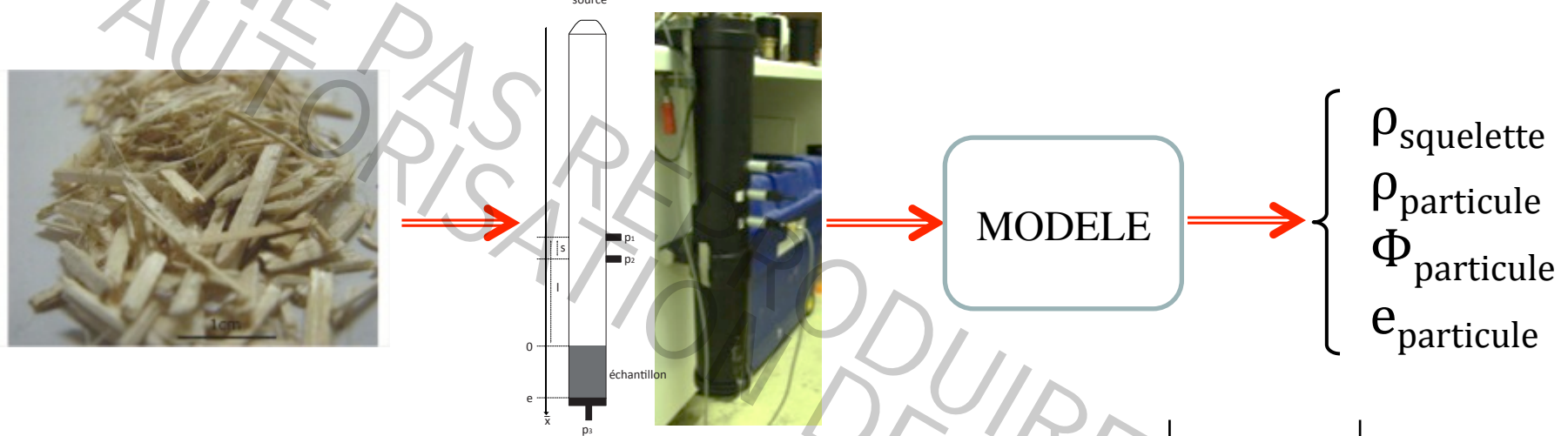






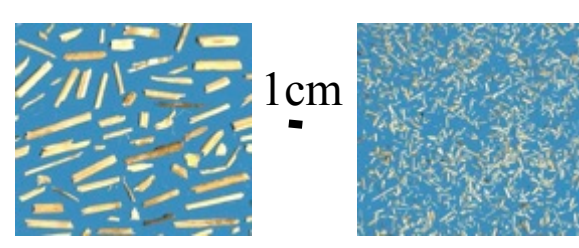
 Acoustique: Caractérisation des particules de chanvre par mesures acoustiques [P. Glé, 2013]





### Résultats de la caractérisation sur **10 chènevottes**

(FNPC, LCDA et autres) – densités apparentes de 100 à 150 kg/m³



EITE	Min	Max
$\rho_{\text{squelette}}$ (kg.m <sup>-3</sup> )	870	1350
ρ <sub>particule</sub> (kg.m <sup>-3</sup> )	362	633
$\Phi_{particule}$	0.426	0.728
e <sub>particule</sub> (mm)	0.184	0.905

GLÉ P, GOURDON E, ARNAUD L; « ACOUSTICAL PROPERTIES OF MATERIALS MADE OF VEGETABLE PARTICLES WITH SEVERAL SCALES OF POROSITY »; APPL ACOUST 2011; 72:249–259



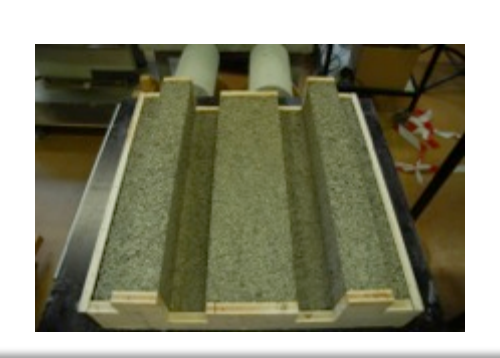
#### • Acoustique :

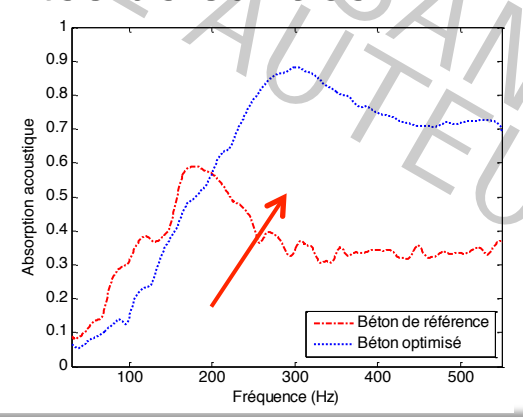


- Conclusions
  - Matériau acoustiquement très intéressant
  - Nombreux leviers de contrôle identifiés
  - Comportement multi-échelle modélisé
  - Technique de caractérisation des matières premières

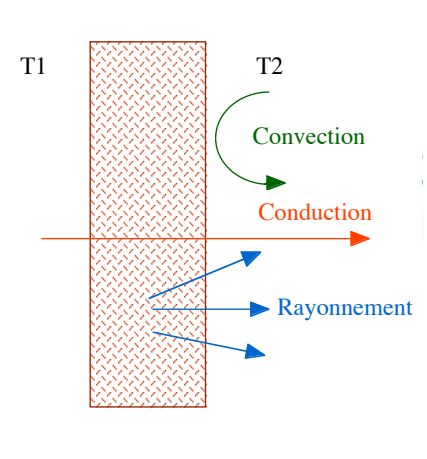
#### Perspectives

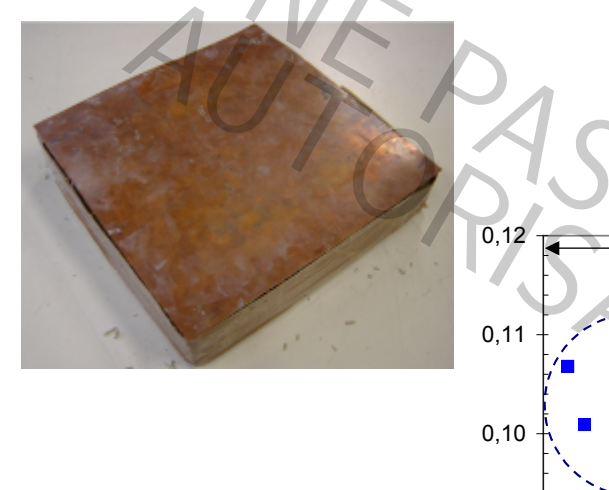
 Optimisation les propriétés acoustiques des bétons de chanvre par gradient de propriétés et irrégularités de surface

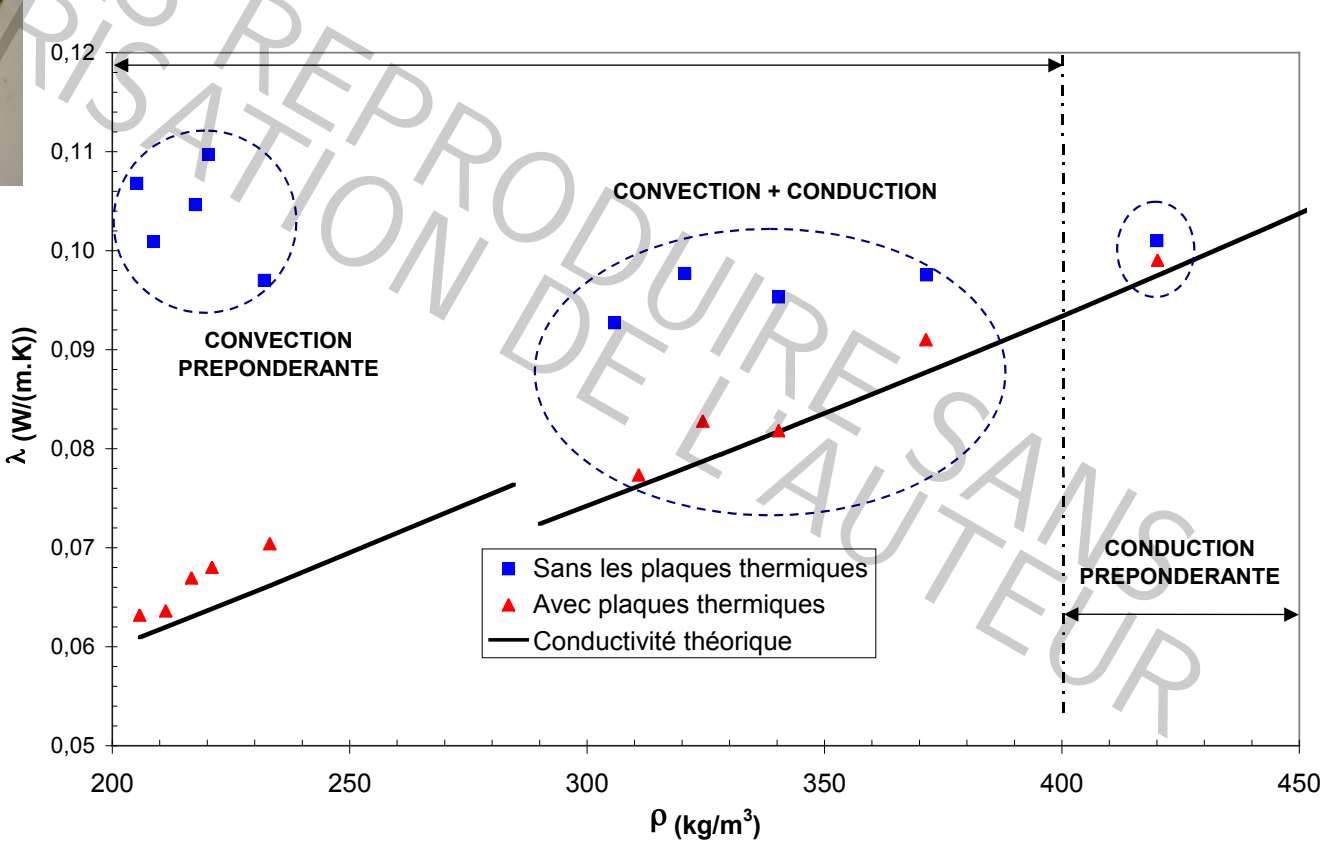




• Thermique : mesures expérimentales





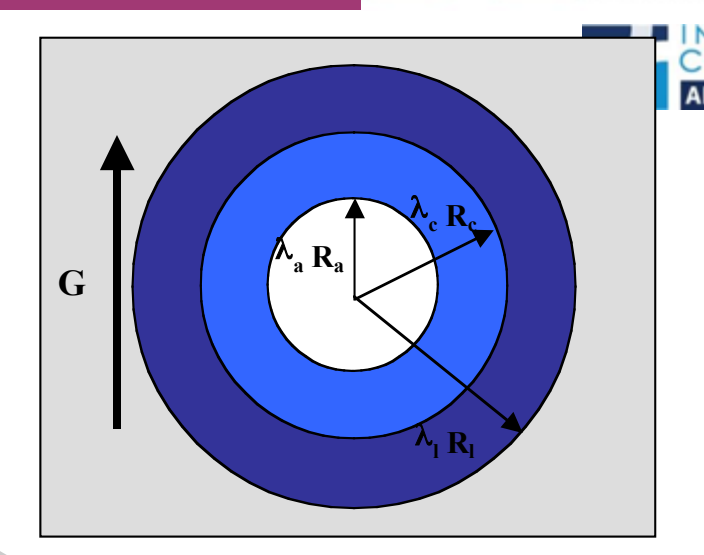




• Thermique : modélisation

#### Modèle autocohérent HAC

Motif générique



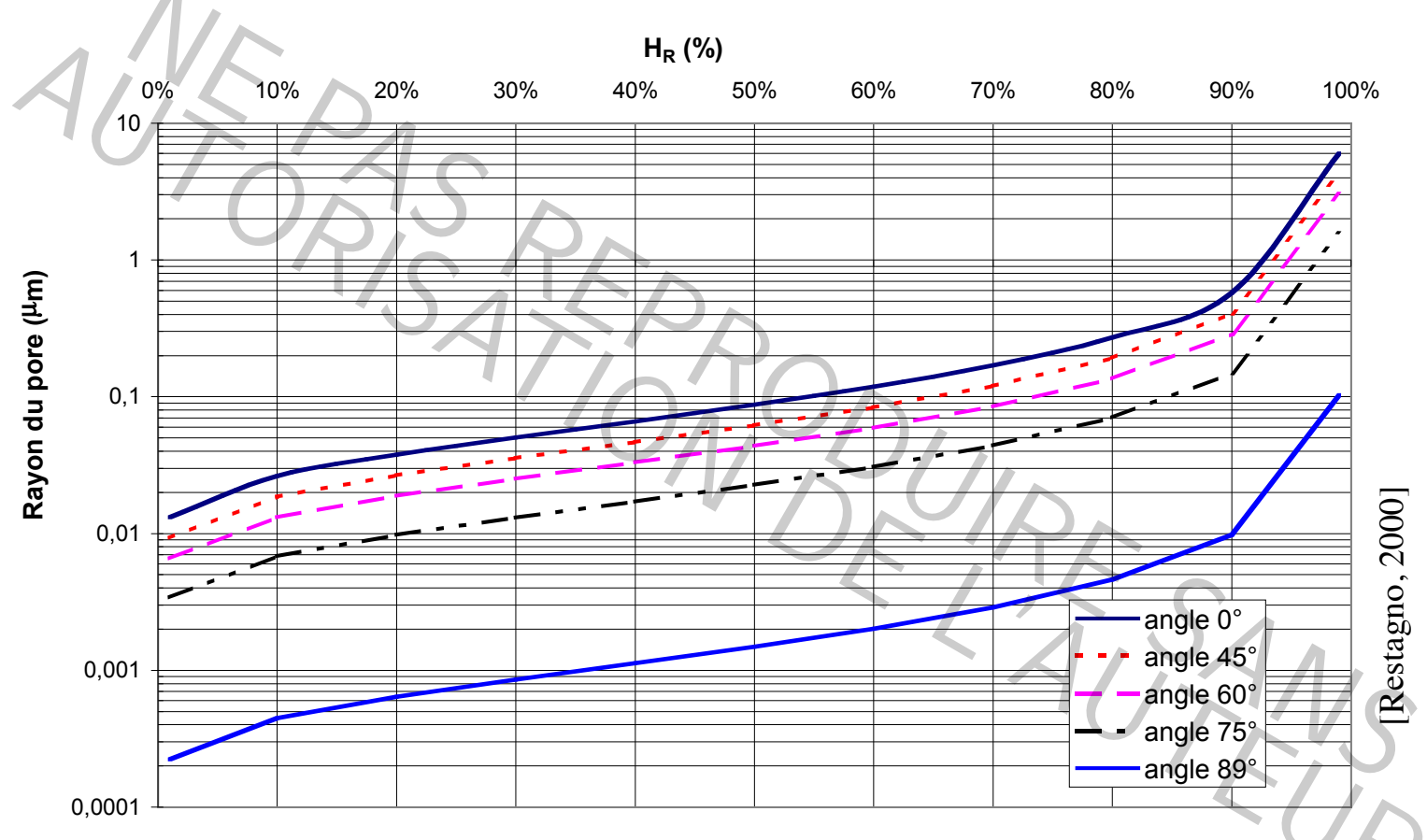
- Paramètres: k, concentrations
- Volumiques  $\theta$  et  $\delta$ , conductivité des constituants  $\lambda_i$

$$\lambda_{eq} = \lambda_{3} \left[ 1 + \frac{\theta}{1 - \theta_{3} + \frac{1 + \frac{(\lambda_{1}/\lambda_{2} - 1) \delta_{3}}{3}}{\frac{\lambda_{1}}{\lambda_{3}} - 1 - \frac{\delta(\lambda_{1}/\lambda_{2} - 1) (2\lambda_{2}/\lambda_{3} + 1)}{3}} \right]$$



• Thermique et humidité relative





### Changements de phase avec %HR



• Thermique et humidité relative



Comparaison 3 matériaux

HR = 70%

•Béton de chanvre

 $HLC2:32 \text{ kg/m}^3$ 

 $HLC1: 24 \text{ kg/m}^3$ 

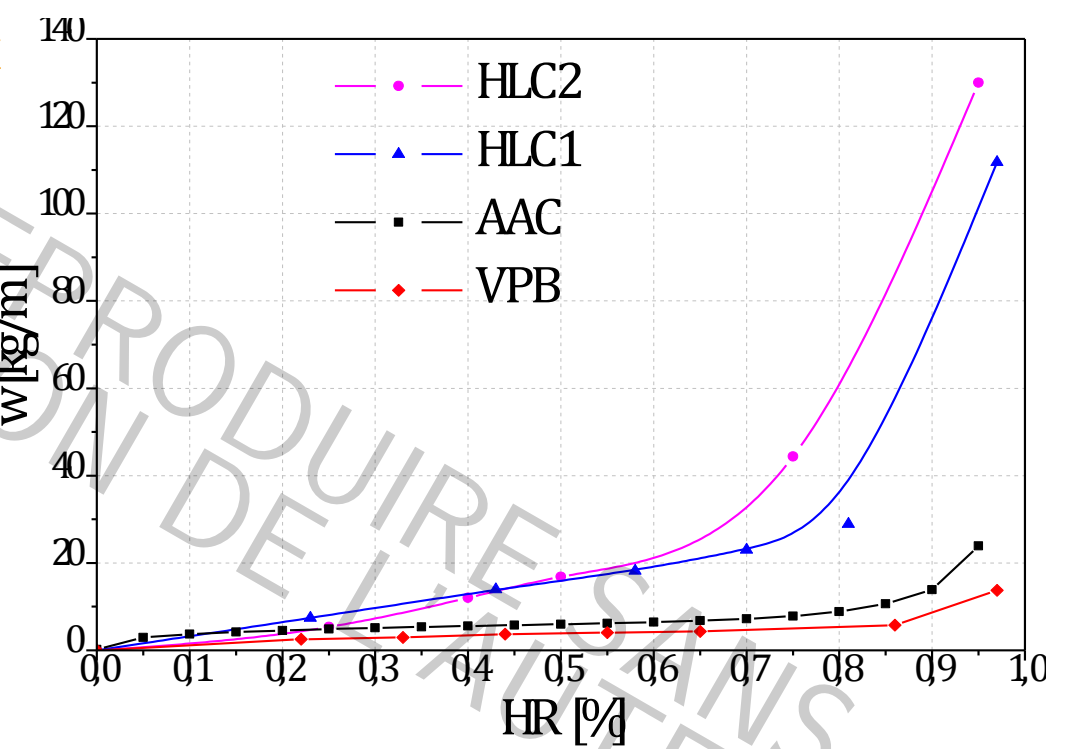
·Béton cellulaire

AAC:  $7 \text{ kg/m}^3$ 

•Blocs terre cuite

VPB:  $4 \text{ kg/m}^3$ 

[BELLINI, 1992], [CEREZO, 2005], [DWI ARGO, 1994]



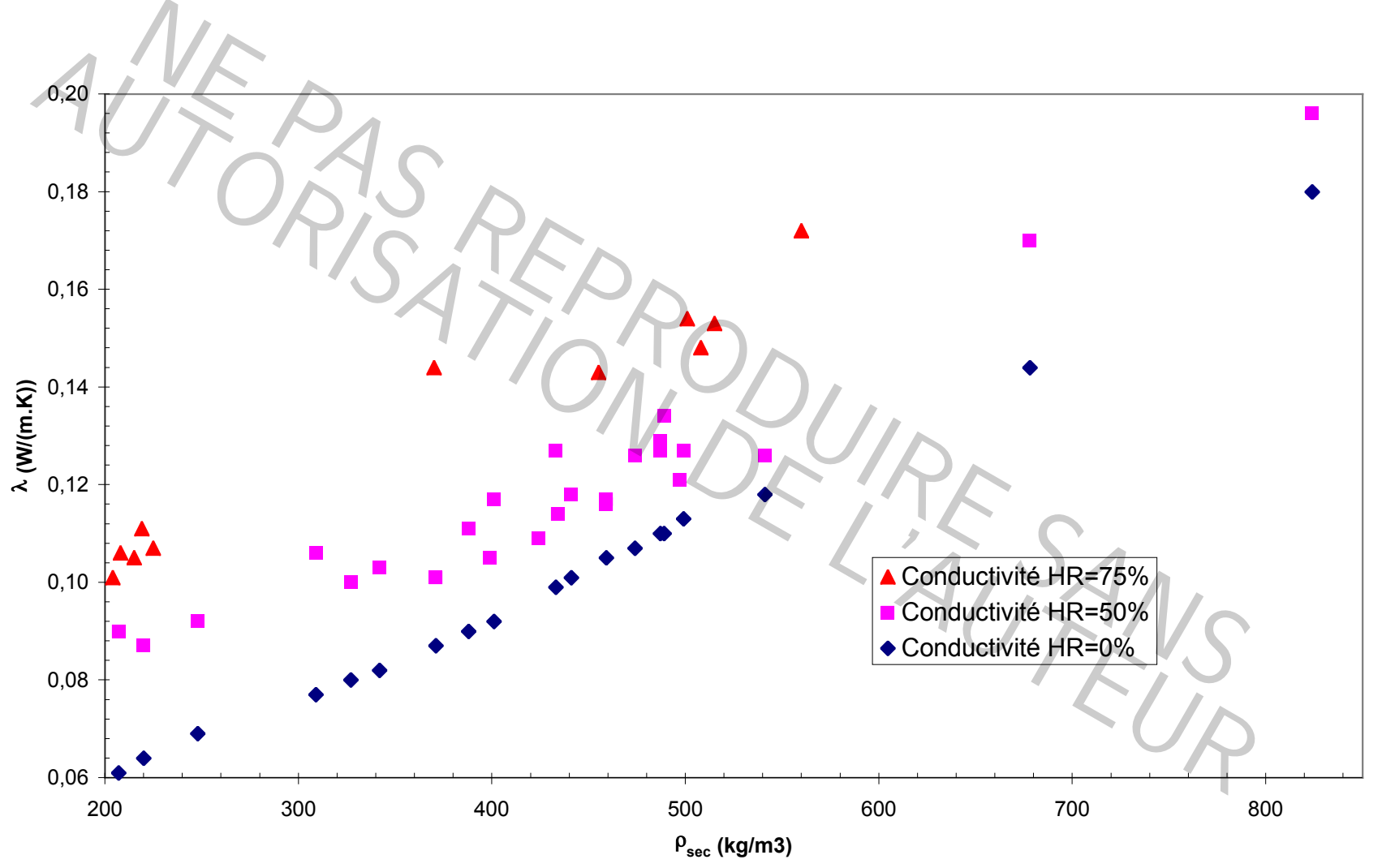
Les BÉTONS de CHANVRE affichent une

plus grande aptitude aux échanges d'humidité



• Thermique et humidité relative



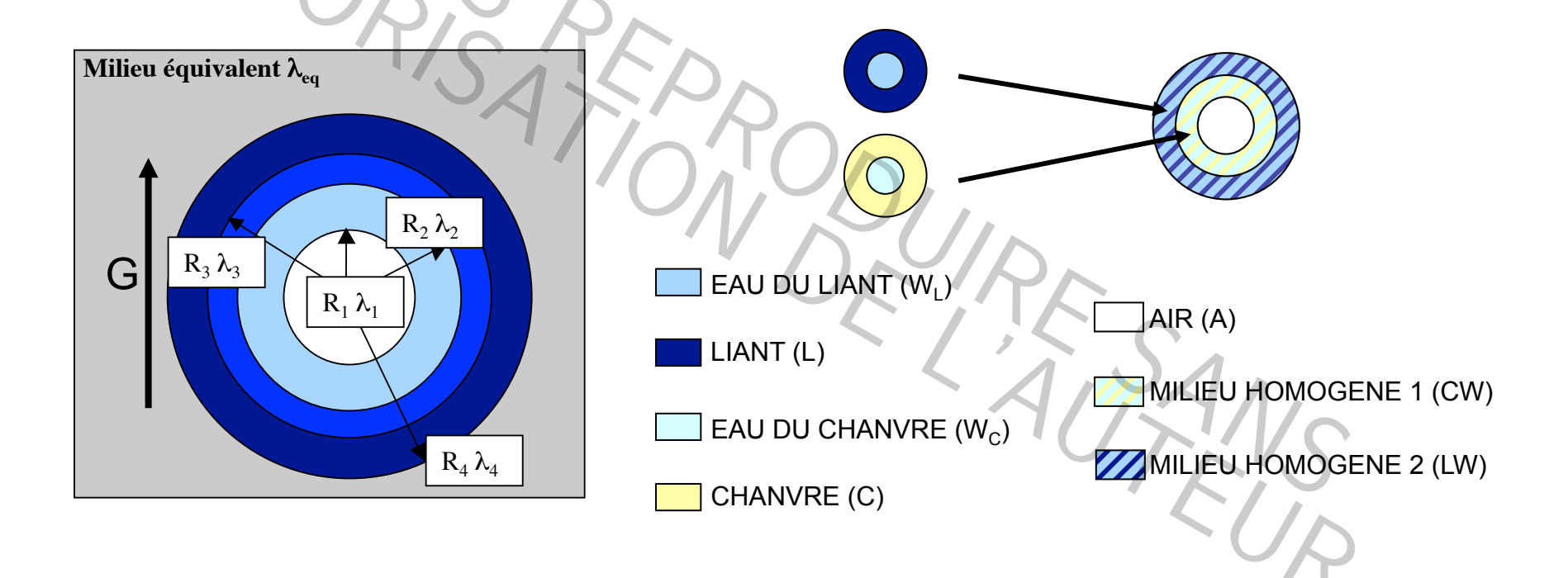




• Thermique et humidité relative



Intégration de l'eau : 2 modèles

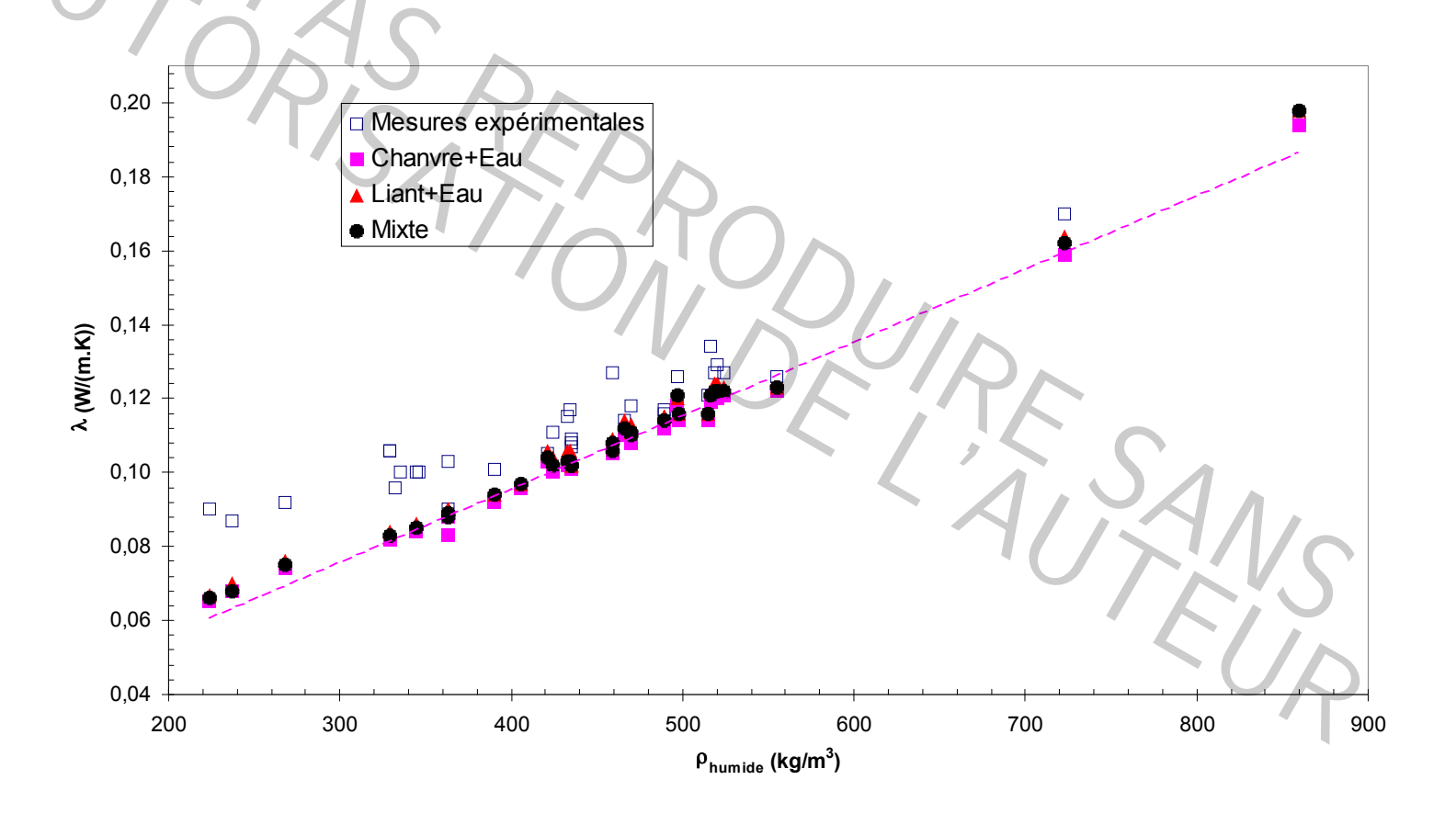




Thermique et humidité relative



Intégration de l'eau : 2 modèles



#### **Sommaire**







- 1. Utilisation du chanvre dans la construction
- 2. Approche globale du comportement
- 3. Performances thermiques et transferts hygrothermiques
- 4. Conclusions





- Travail essentiel pour l'évaluation des performances énergétiques (classement, labels, ...)
- Qualité des ambiances
- Fonctionnement d'un mur : matériau poreux
- Gradients de température T et d'humidité relative %HR
- Comparaison de matériaux



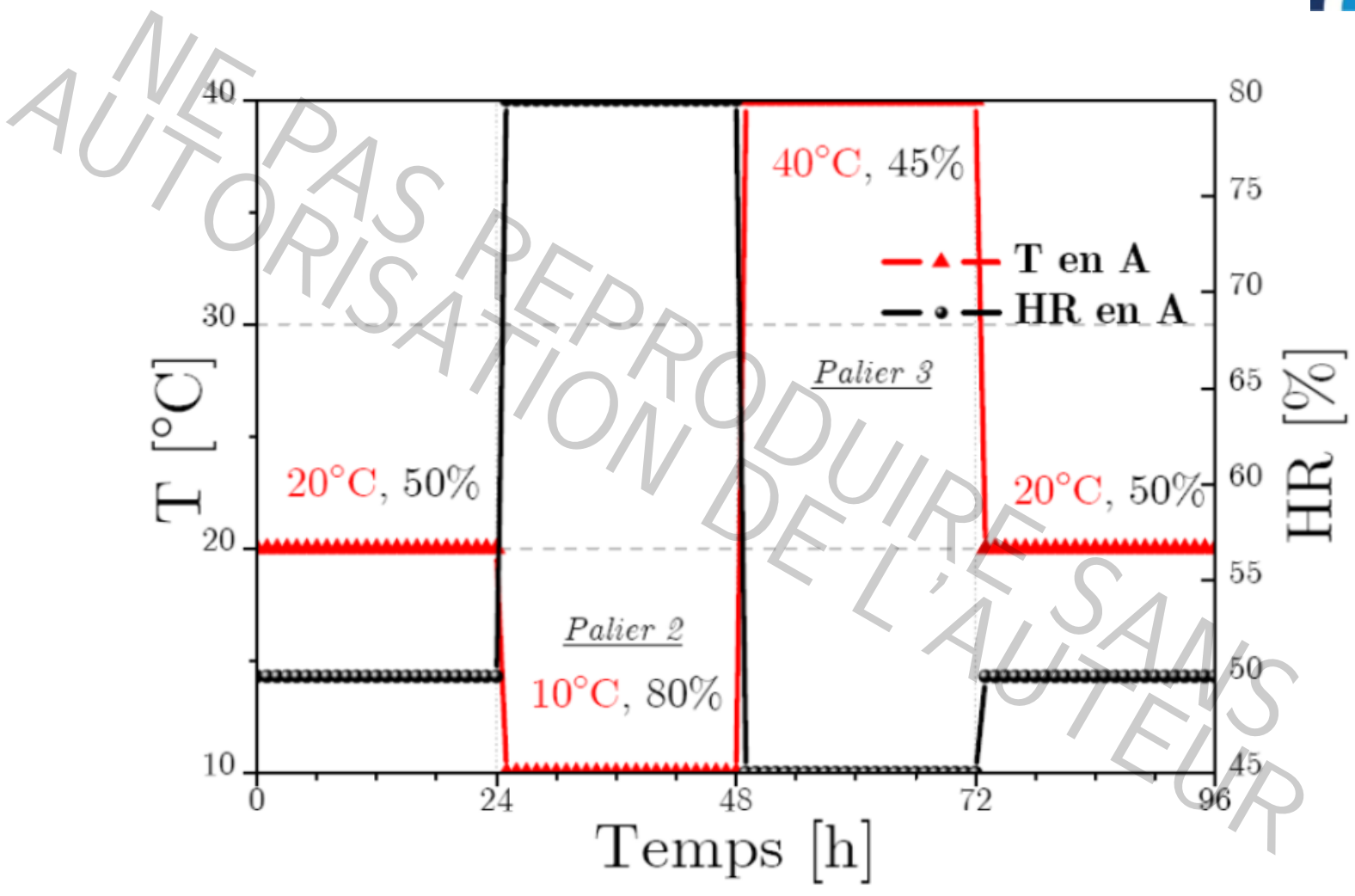








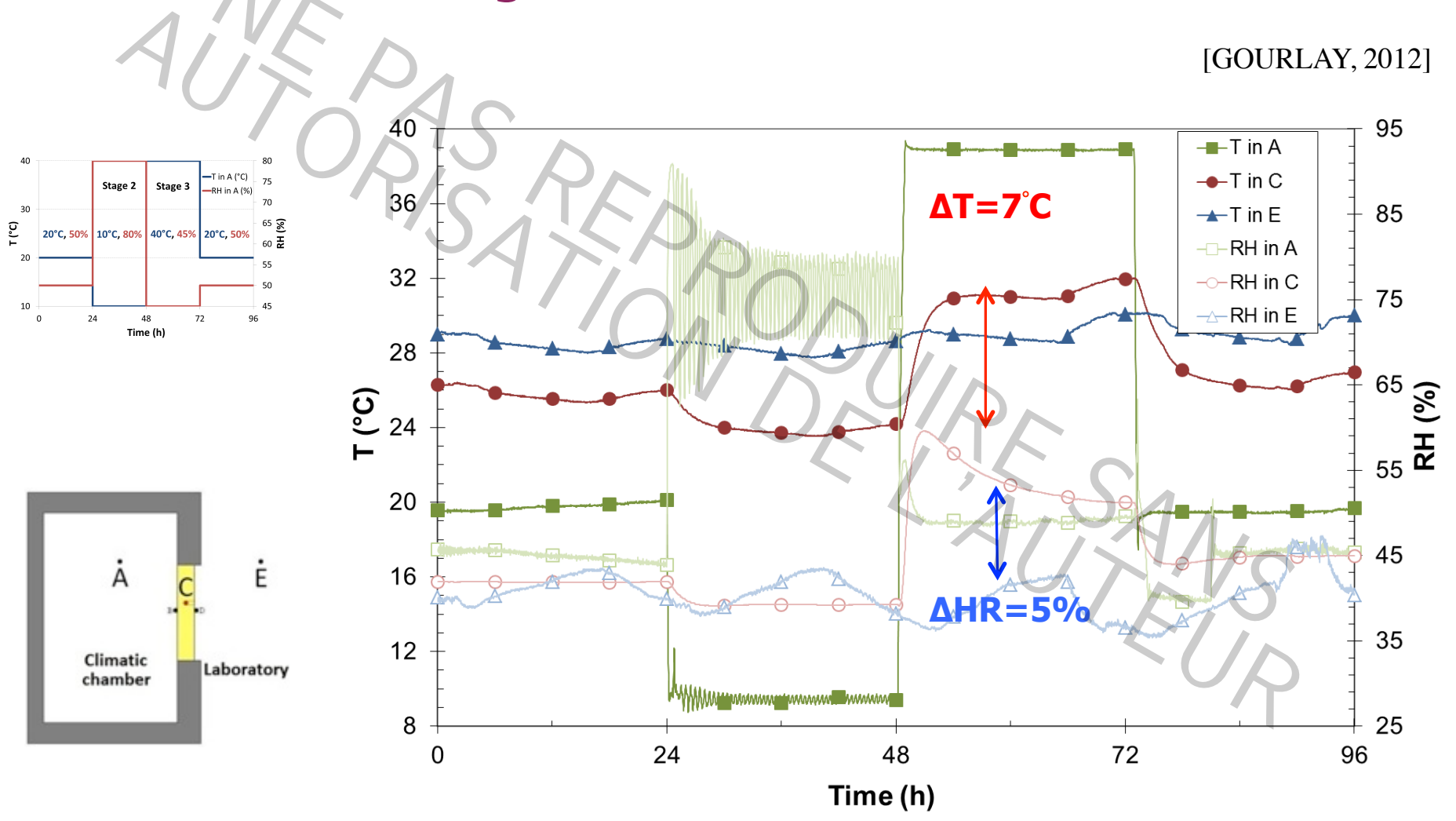








## Cas **SANS** échanges convectifs

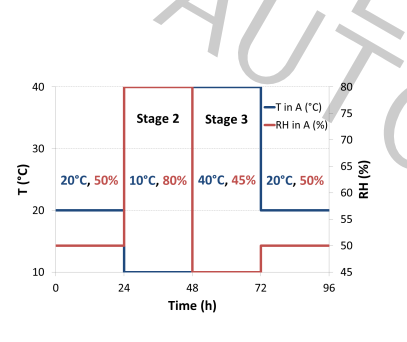


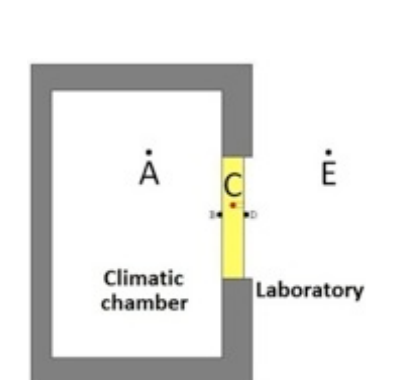


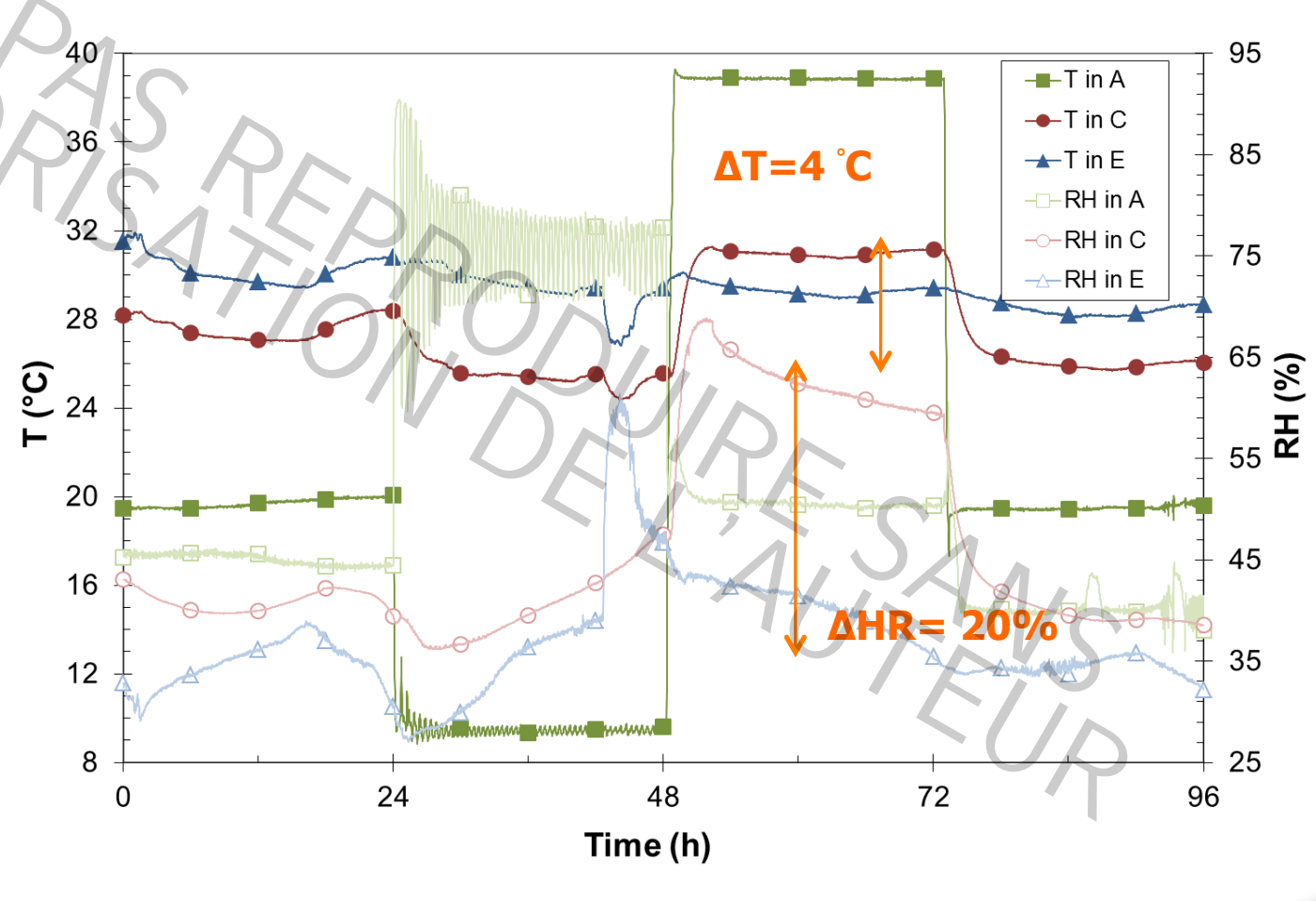


## Cas **AVEC** échanges convectifs









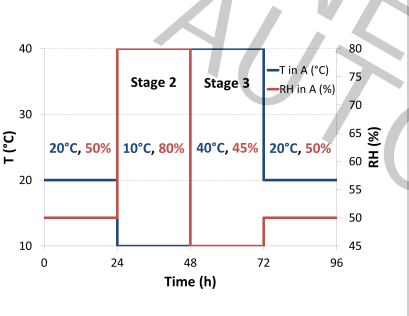
22

20





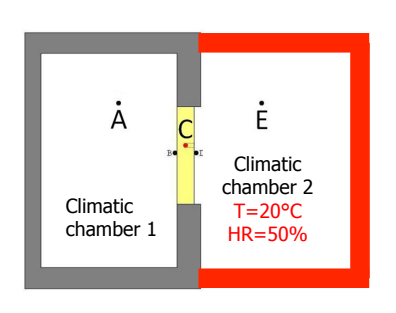
## Effet de la chènevotte (taille diff., form, liant id)

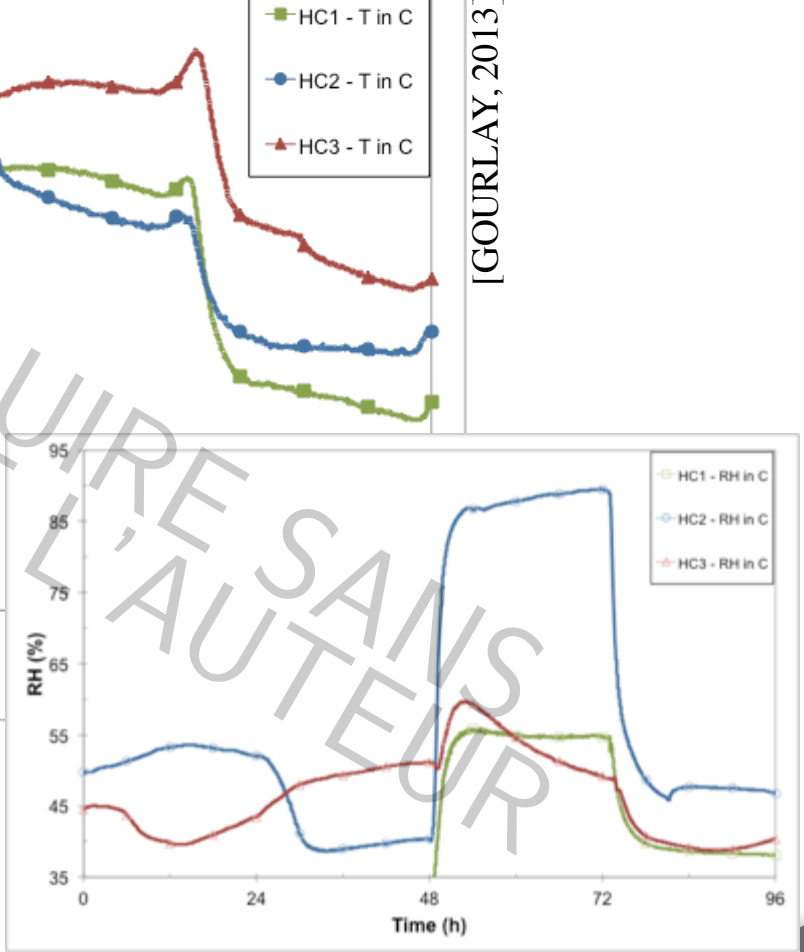




24

Time (h)





HC1 - T in C

-HC2 - T in C

HC3 - T in C





#### Paramètres: T et HR

Impact du changement de phase (L<sub>v</sub>: chaleur latente de changement de phase)

$$\rho.c. \frac{\partial T}{\partial t} = \frac{\partial}{\partial x} \left( \lambda \frac{\partial T}{\partial x} \right) + L_w \frac{\partial}{\partial x} \left( \delta_p \cdot \frac{\partial}{\partial x} (HR.p_{sat}) \right)$$

$$\frac{\partial w}{\partial HR} \cdot \frac{\partial HR}{\partial t} = \frac{\partial}{\partial x} \left( \frac{\partial w}{\partial HR} \cdot D_w \cdot \frac{\partial HR}{\partial x} \right) \left( \frac{\partial}{\partial x} (HR.p_{sat}) \right)$$

Transport d'eau liquide

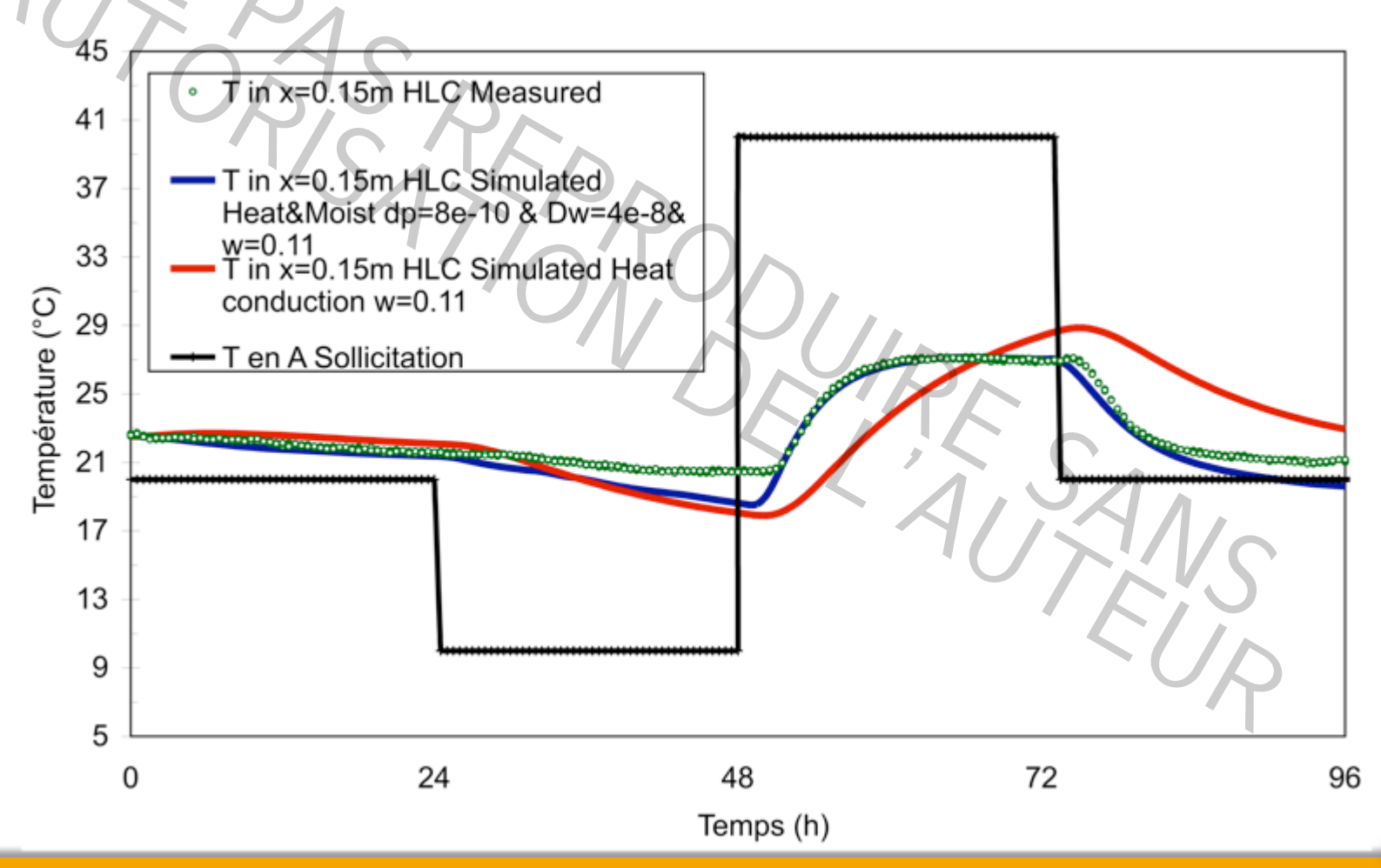
(D<sub>w</sub>: diffusivité hydrique isotherme [m<sup>2</sup>.s<sup>-1</sup>]

Diffusion de vapeur  $(\delta_p$ : perméabilité à la vapeur d'eau)





# Modélisation numérique avec prise en compte des transferts et changements de phase



#### **Sommaire**







- 1. Utilisation du/chanvre dans la construction
- 2. Approche globale du comportement
- 3. Performances thermiques et transferts hygrothermiques
- 4. Conclusions

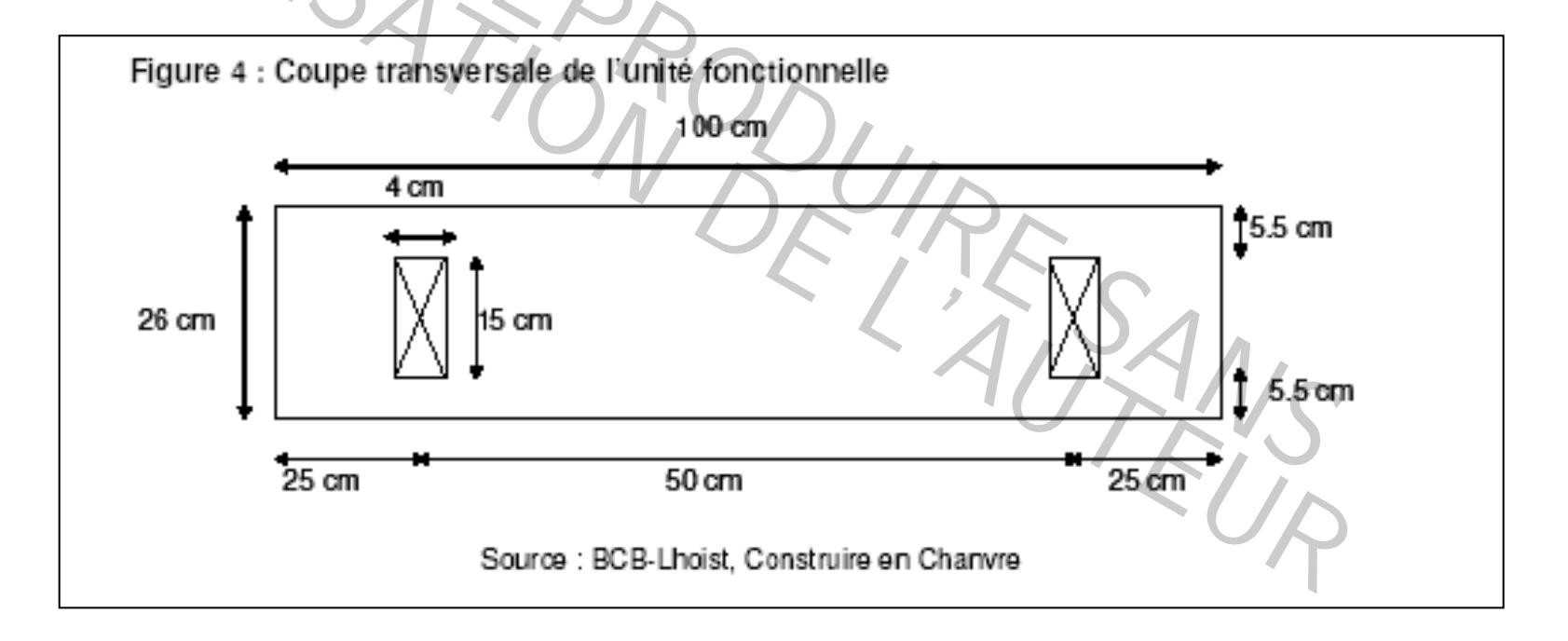
#### Intérêts environnementaux





# ACV: Analyse du Cycle de Vie des bétons de chanvre

Unité fonctionnelle : 1m² de mur en béton de chanvre ayant une résistance thermique de 2.36 m².K/W



#### Intérêts environnementaux

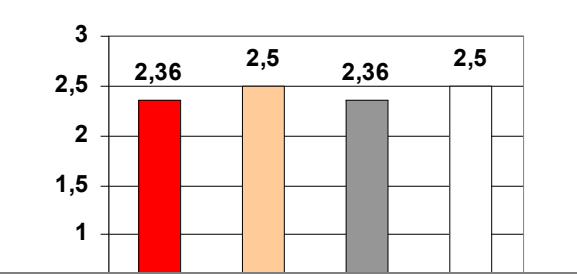






#### Resistance thermique

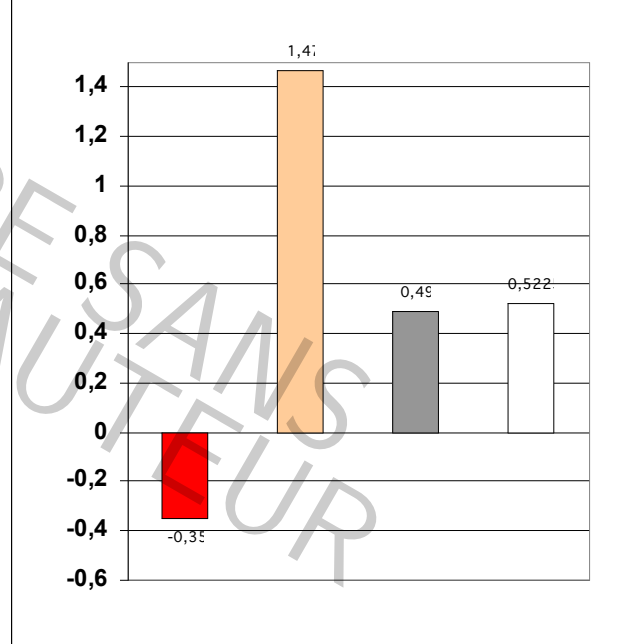
de différents matériaux destinés à la construction de murs (m2,K/W)



- Béton chanvre et chaux sur ossature bois (26cm)
- MONOMUR Terre Cuite rectifié pour pose à joint mince (37cm)
- Blocs en béton + PSE Th 38 épaisseur 10+80
- □ Béton Cellulaire (Thermopierre 30cm 400 kg/m3)

## **Consommation Energie Primaire Totale** production de 1m2 / 1an de vie (MJ/an) 11.69 12 10 8 6,36 5,6 3,94

#### Changement climatique pour 1m2 de mur / 1 an de vie (kg équivalent CO2/an)







## Briques



## Béton de chanvre



#### Conclusions



### Exemple de réalisation :

- Réhabilitation d'un bâtiment tertiaire
- « Isolation » d'une maçonnerie traditionnelle de pierres par un enduit chanvre / chaux (6 10 cm)



Maison Diocésaine de Chalons en Champagne Architectes : Atelier Méandre

- Moyenne nationale de consommation énergétique
  - $> 250 \text{ kWh/m}^2/\text{an}$
- Moyennes des consommations (4 ans)
  - $< 64 \text{ kWh/m}^2/\text{an}$





Merci de votre attention

Laurent.arnaud@ensam.eu